

การพัฒนาระบบระบายความร้อนของมอเตอร์ในรถจักรยานไฟฟ้า

Development of cooling motor for electric bicycle

นายชัชพล	คิรินทร์	รหัส 51361179
นายณรงค์	วงศ์ไชย	รหัส 51361193
นายพันธ์ชนกต์	ดรุณศิลป์	รหัส 51363173

ปริญญา呢พนนีเป็นส่วนหนึ่งของการศึกษาหลักสูตรปริญญาวิศวกรรมศาสตรบัณฑิต
สาขาวิชาวิศวกรรมเครื่องกล ภาควิชาวิศวกรรมเครื่องกล
คณะวิศวกรรมศาสตร์ มหาวิทยาลัยนเรศวร
ปีการศึกษา 2554

ห้องสมุดคณะวิศวกรรมศาสตร์
วันที่รับ.....
10 ก.ค. 2555
เลขทะเบียน.....
15998633
เลขเรียกหนังสือ.....
ก.ส.
มหาวิทยาลัยนเรศวร ๑๓๖๖
๙
๒๕๕๔



ใบรับรองปริญญาบัตร

ชื่อหัวข้อโครงการ	: การพัฒนาระบบระบายความร้อนของมอเตอร์ในรถจักรยานไฟฟ้า		
ผู้ดำเนินโครงการ	: นายชัยพล คิรินทร์	รหัส 51361179	
	: นายณรงค์ วงศ์ไชย	รหัส 51361193	
	: นายพันธ์ชนกต์ ศรุณศิลป์	รหัส 51363173	
อาจารย์ที่ปรึกษาโครงการ	: ดร.อนันต์ชัย อุย়েঁগাঁও		
สาขาวิชา	: วิศวกรรมเครื่องกล		
ภาควิชา	: เครื่องกล		
ปีการศึกษา	: 2554		

คณะวิศวกรรมศาสตร์ มหาวิทยาลัยนเรศวร อนุมัติให้ปริญญาบัตรฉบับนี้เป็นส่วนหนึ่งของการศึกษาตามหลักสูตรวิศวกรรมศาสตรบัณฑิต สาขาวิชาชีววิศวกรรมเครื่องกล

 ที่ปรึกษาโครงการ
(ดร.อนันต์ชัย อุย়েঁগাঁও)

 กรรมการ
(รศ.ดร.ประสมศักดิ์ วีไลผล)

 กรรมการ
(ผศ.ดร.ปิยะนันท์ เจริญสารค์)

ชื่อหัวข้อโครงการ	: การพัฒนาระบบทรั้งความร้อนของมอเตอร์ในรถจักรยานไฟฟ้า		
ผู้ดำเนินโครงการ	: นายชัชพล คิรินทร์	รหัส 51361179	
	นายณรงค์ วงศ์ชัย	รหัส 51361193	
	นายพันธ์ชนกต์ ครุณศิลป์	รหัส 51363173	
อาจารย์ที่ปรึกษาโครงการ	: ดร.อนันต์ชัย อญ്യ์แก้ว		
สาขาวิชา	: วิศวกรรมเครื่องกล		
ภาควิชา	: เครื่องกล		
ปีการศึกษา	: 2554		

บทคัดย่อ

โครงการนี้เป็นโครงการเกี่ยวกับการศึกษาการระบายความร้อนของมอเตอร์ด้วยครึ่งระบบความร้อนในรถจักรยานไฟฟ้า ตัวแปรที่สำคัญคืออุณหภูมิของมอเตอร์โดยให้อุณหภูมิของมอเตอร์เกิดน้อยที่สุด เพื่อให้มอเตอร์มีอายุการใช้งานที่นานขึ้น โดยมีการทดลองแบ่งออกเป็น 2 แบบ ดังนี้ แบบที่ 1. เป็นการทดลองหาอุณหภูมิสูงสุดที่เกิดในมอเตอร์มีการทดลองดังนี้ ทดลองเชิงรยานไฟฟ้าวิ่งที่ความเร็วคงที่ 20 km/hr แล้วบันทึกอุณหภูมิของมอเตอร์ทุกๆ 5 นาที จากการทดลองพบว่าอุณหภูมิของมอเตอร์สูงสุดอยู่ที่ 53°C พบว่าอุณหภูมิสูงสุดของมอเตอร์ไม่เกินค่าที่กำหนดไว้ 55°C จากการทดลองสรุปได้ว่า นี่อิติครึ่งและพัฒนาระบายความร้อนแล้วจะสามารถลดความอุณหภูมิของมอเตอร์ไม่ให้เกิน 55°C และแบบที่ 2. เป็นการทดลองหาอุณหภูมิจากการเร่งและเบรก แล้วนำอุณหภูมิไปหาอัตราการถ่ายเทความร้อน แบ่งการทดลองออกเป็น 3 แบบ การทดลองนี้จะแบ่งออกเป็น 3 ช่วง คือ 1. ช่วงเร่งความเร็วจาก $0-20 \text{ km/hr}$ 2. ช่วงความเร็วคงที่ 3. ช่วงเบรกจนรถหยุดนิ่งจาก $20-0 \text{ km/hr}$ แล้ววัดอุณหภูมิที่เกิดในแต่ละช่วงของมอเตอร์ โดยจะเลือกวัดอุณหภูมิส่วนที่ร้อนสุดของมอเตอร์คือด้านหลังของมอเตอร์ เพราะว่าด้านหลังมีการไหลของอากาศผ่านไม่เต็มที่จึงทำให้ด้านหลังของมอเตอร์มีอุณหภูมิสูงสุด จากการทดลองและคำนวณทำการถ่ายเทความร้อนจะเห็นได้ว่าแบบติดครึ่งและพัฒนาระบายความร้อนได้ 49% และอุณหภูมิของมอเตอร์ลดลง 17% สูงได้ว่าการติดครึ่งและพัฒนาระบายความร้อนของมอเตอร์

Project title	: Development of cooling motor for electric bicycle		
Name	: Mr.Chatchapon Kirin	ID 51361179	
	: Mr.Narong Wongchai	ID 51361193	
	: Mr.Punchanut Darroonsin	ID 51363173	
Project advisor	: Dr. Arnunchai Youkeaw		
Major	: Mechanical Engineering		
Department	: Mechanical Engineering		
Academic year	: 2011		

Abstract

This project is a project about the cooling motors with fin in electric bicycles. Important variable is the temperature of the motor, the motor temperature to a minimum. The motor to last for long. The experiment was divided into two types of Type 1. An experiment to find the maximum temperature in the motor were as follows. Try cycling power to run at a constant speed of 20 km / hr, and then record the temperature of the motor every 5 minutes, it was found that the temperature of the motor up to 53 Celsius the maximum temperature of the motor does not exceed the 55 Celsius conclusion of the trial. On the fins and cooling fans will be able to control the temperature of the motor does not exceed 55 Celsius and Type 2. The temperature of the acceleration and braking. The water temperature to determine the rate of heat transfer. The experiment is divided into three types in this study is divided into three periods: 1. For acceleration of 0-20 km / hr 2. A constant speed 3. The brakes until the car stops from 20-0 km / hr and then measure the temperature in the range of the motor. It will measure the temperature of the heat of the motor is on the back of the motor. Because the flow of air through the rear of the motor is not fully up to temperature. The experimental and calculated heat transfer can be seen that the fin and the fan with the heat transfer is 49% and temperature of motors down 17% concluded that the fins and the fan with the fan. heating of the motor.

กิตติกรรมประกาศ

โครงการ การพัฒนาระบบระบบความร้อนของมอเตอร์ในรถจักรยานไฟฟ้า ประสบผลสำเร็จลงได้ด้วยดี คณบุคคลที่มีส่วนช่วยเหลือให้คำปรึกษา แนะนำและอนุมัติในการดำเนินงานมาตลอดจนสำเร็จลุล่วง ดังนี้

ขอขอบพระคุณ บิดา มารดา ที่อบรมสั่งสอนเป็นอย่างดี และค่อยสนับสนุนในด้านการศึกษา ทุกด้านตลอดจนสำเร็จการศึกษา

ขอขอบพระคุณ ดร.อนันต์ชัย อุย়েก้าว อาจารย์ที่ปรึกษาโครงการที่กรุณาให้คำปรึกษา ตลอดจนช่วยดูแลจนโครงการสำเร็จลงด้วยดี

ขอขอบพระคุณ นายชัชชัย อินเสียน ที่ค่อยให้คำปรึกษาและช่วยเหลือในด้านต่างๆ

ขอขอบพระคุณครูซ่างภาควิชาศิวกรรมเครื่องกล คณะศิวกรรมศาสตร์ มหาวิทยาลัย นเรศวรทุกท่าน ที่กรุณาร่วมด้วยความละเอียดในการยืนยันอุปกรณ์เพื่อใช้ในการทำงานตลอดจนให้ คำแนะนำที่เป็นประโยชน์

นายชัชพล	คิรินทร์
นายณรงค์	วงศ์ไชย
นายพันธ์นันต์	ศรุณศิลป์



สารบัญ

หน้า

ใบรับรองปริญญาบัณฑิต	๑
บทคัดย่อภาษาไทย	๒
บทคัดย่อภาษาอังกฤษ	๓
กิจกรรมประการ	๔
สารบัญ	๕
สารบัญตาราง	๖
สารบัญรูป	๗
บทที่ ๑ บทนำ	๑
1.1 ความเป็นมาและความสำคัญของโครงงาน	๑
1.2 วัตถุประสงค์ของโครงงาน	๒
1.3 ขอบเขตการทำการวิจัย	๒
1.4 ขั้นตอนการดำเนินงาน	๓
1.5 ประโยชน์ที่คาดว่าจะได้รับ	๓
1.6 รายละเอียดงบประมาณตลอดโครงงาน	๓
บทที่ ๒ หลักการและทฤษฎีเบื้องต้น	๔
2.1 การนำความร้อน (Conduction)	๔
2.2 การพาความร้อน (Convection)	๕
2.3 การถ่ายเทความร้อนผ่านผนังหลายชั้น	๖
2.4 การให้ภายนอกแบบระบบเรียบ	๗
2.5 ครึ่งระบบที่ควบคุมความร้อน	๗
2.6 ประสิทธิภาพรวมของระบบที่ติดครึ่ง (Overall Surface Efficiency)	๙
2.8 คุณสมบัติของอุณหภูมิเนี้ยบ	๑๐
บทที่ ๓ วิธีดำเนินโครงงานและการทดลอง	๑๑
3.1 อุปกรณ์ในการดำเนินโครงงาน	๑๒
3.2 การออกแบบครึ่งระบบที่ควบคุมความร้อน	๑๖
3.3 ขั้นตอนการทดลอง	๒๑

สารบัญ(ต่อ)

หน้า

บทที่ 4 ผลการทดลองและวิเคราะห์.....	27
4.1 การวิเคราะห์ผลการทดลองตอนที่ 1.....	27
4.2 การวิเคราะห์ผลการทดลองตอนที่ 2.....	29
4.3 การวิเคราะห์ผลการทดลองตอนที่ 3.....	31
4.4 การวิเคราะห์ผลการทดลองตอนที่ 4.....	33
4.5 การวิเคราะห์ผลการทดลองตอนที่ 5.....	35
4.6 การวิเคราะห์ผลการทดลองตอนที่ 6.....	37
4.7 อภิปรายผลการทดลอง.....	39
บทที่ 5 สรุปผลการทดลองและข้อเสนอแนะ.....	41
5.1 สรุปผลการทดลอง.....	41
5.2 ข้อเสนอแนะสำหรับการพัฒนาในครั้งต่อไป.....	41
อ้างอิง.....	42
ภาคผนวก.....	43
ภาคผนวก ก.....	44
ภาคผนวก ข.....	51
ภาคผนวก ค.....	58
ประวัติผู้ดำเนินโครงการ.....	62

สารบัญตาราง

หน้า

ตารางที่ 4.1 แสดงการข้อมูลจากการคำนวณค่าการถ่ายเทคความร้อนของการทดลองที่ 1	28
ตารางที่ 4.2 แสดงการข้อมูลจากการคำนวณค่าการถ่ายเทคความร้อนของการทดลองที่ 2	30
ตารางที่ 4.3 แสดงการข้อมูลจากการคำนวณค่าการถ่ายเทคความร้อนของการทดลองที่ 3	32
ตารางที่ 4.4 แสดงการข้อมูลจากการคำนวณค่าการถ่ายเทคความร้อนของการทดลองที่ 4	34
ตารางที่ 4.5 แสดงการข้อมูลจากการคำนวณค่าการถ่ายเทคความร้อนของการทดลองที่ 5	36
ตารางที่ 4.6 แสดงการข้อมูลจากการคำนวณค่าการถ่ายเทคความร้อนของการทดลองที่ 6	38
ตารางที่ ก.1 แสดงข้อมูลเวลา, อุณหภูมิ ของมอเตอร์ ของการทดลองที่ 1	45
ตารางที่ ก.2 แสดงข้อมูลเวลา, อุณหภูมิ ของมอเตอร์และครึ่งระบบความร้อน ของการทดลองที่ 2	45
ตารางที่ ก.3 แสดงข้อมูลเวลา, อุณหภูมิ ของมอเตอร์และครึ่งระบบความร้อนที่ติดพัดลม ของการทดลองที่ 3	46
ตารางที่ ก.4 แสดงข้อมูลเวลา, อุณหภูมิ ของมอเตอร์ ของการทดลองที่ 4	46
ตารางที่ ก.5 แสดงข้อมูลเวลา, อุณหภูมิ ของมอเตอร์และครึ่งระบบความร้อน ของการทดลองที่ 5	47
ตารางที่ ก.6 แสดงข้อมูลเวลา, อุณหภูมิ ของมอเตอร์และครึ่งระบบความร้อนที่ติดพัดลม ของการทดลองที่ 6	48
ตารางที่ ก.7 A.1 Thermophysical Properties of Selected metallic Solid.....	49
ตารางที่ ก.8 A.4 Thermophysical Properties of Gases at Atmospheric Pressure.....	50
ตารางที่ ข.1 แสดงการข้อมูลจากการคำนวณค่าการถ่ายเทคความร้อนของการทดลองที่ 1	53
ตารางที่ ข.2 แสดงการข้อมูลจากการคำนวณค่าการถ่ายเทคความร้อนของการทดลองที่ 2	54
ตารางที่ ข.3 แสดงการข้อมูลจากการคำนวณค่าการถ่ายเทคความร้อนของการทดลองที่ 3	54
ตารางที่ ข.4 แสดงการข้อมูลจากการคำนวณค่าการถ่ายเทคความร้อนของการทดลองที่ 4	55
ตารางที่ ข.5 แสดงการข้อมูลจากการคำนวณค่าการถ่ายเทคความร้อนของการทดลองที่ 5	56
ตารางที่ ข.6 แสดงการข้อมูลจากการคำนวณค่าการถ่ายเทคความร้อนของการทดลองที่ 6	57

สารบัญ

หน้า

สารบัญรูป(ต่อ)

หน้า

รูปที่ 4.10 แสดงความสัมพันธ์ระหว่างเวลา กับ อัตราการถ่ายเทความร้อนของมอเตอร์ที่ติด เครื่องระบบายความร้อน.....	36
รูปที่ 4.11 แสดงความสัมพันธ์ระหว่างเวลา กับ อุณหภูมิของมอเตอร์และเครื่องที่ติด พัดลมระบบายความร้อน.....	37
รูปที่ 4.12 แสดงความสัมพันธ์ระหว่างเวลา กับ อัตราการถ่ายเทความร้อนของมอเตอร์ที่ติด เครื่องระบบายความร้อนและพัดลมระบบายอากาศ	38
รูปที่ ค.1 การออกแบบเครื่องระบบายความร้อน	59
รูปที่ ค.2 การออกแบบเครื่องระบบายความร้อน	60
รูปที่ ค.3 การออกแบบเครื่องระบบายความร้อน	61



บทที่ 1

บทนำ

1.1 ความเป็นมาและความสำคัญของโครงงาน

เนื่องจากในปัจจุบันได้เกิดภาวะโลกร้อนก็ เพราะว่ากําชเรือนกระจกที่เพิ่มขึ้นจากการทำกิจกรรมต่างๆ ของมนุษย์ ไม่ว่าจะเป็นการเผาผลิตภัณฑ์ รวมไปถึงสารเคมีที่มีส่วนผสมของกําชเรือนกระจกที่มนุษย์ใช้ และอื่นๆ อีกมากมาย จึงทำให้กําชเรือนกระจกเหล่านี้ลอยขึ้นไปรวมตัวกันอยู่บนชั้นบรรยากาศของโลก ทำให้รังสีของดวงอาทิตย์ที่ควรจะสะท้อนกลับออกไปในปริมาณที่เหมาะสม กลับถูกกําชเรือนกระจกเหล่านี้กักกีบไว้ ทำให้อุณหภูมิของโลกค่อนข้างสูงขึ้นจากเดิม เนื่องจากพลังงานเชื้อเพลิงที่เป็นสาเหตุหลักของการเกิดภาวะโลกร้อนมีอยู่อย่างจำกัดและลดน้อยลง และมีแนวโน้มความต้องการจะมากขึ้น ซึ่งในรถจักรยานยนต์ส่วนมากใช้เครื่องยนต์เป็นต้นกำลังในการขับเคลื่อน โดยเครื่องยนต์เหล่านั้นล้วนแต่ใช้พลังงานจากน้ำมันเชื้อเพลิง ดังนั้นจึงได้มีการพัฒนาถึงผลประโยชน์ที่จะตามจากการที่จะมีการเพิ่มจำนวนของรถจักรยานยนต์และการลดน้อยลงของปริมาณเชื้อเพลิง ทั้งนี้เพื่อวัตถุประสงค์ในการประหยัดน้ำมันเชื้อเพลิง ลดอัตราการปล่อยกําชไอเสียสู่บรรยากาศ (Emission) และนำพลังงานที่ได้มาใช้ให้มากที่สุด

รถจักรยานที่เป็นพาหนะที่ไม่ต้องใช้พลังงานเชื้อเพลิงที่ก่อให้เกิดผลกระทบทางสิ่งแวดล้อมดังนั้น จึงได้เกิดแนวคิดและพัฒนารถจักรยานที่สามารถใช้พลังงานทดแทนในรูปแบบต่างๆ แนวคิดในการพัฒนารถจักรยานที่ใช้พลังงานไฟฟ้าจึงเกิดขึ้น

รถจักรยานไฟฟ้ามีส่วนประกอบหลักที่สำคัญ ได้แก่ มอเตอร์ แบตเตอรี่ มาใช้ในการขับเคลื่อนรถจักรยาน ซึ่งการในขณะที่แบตเตอรี่เปลี่ยนจากการกระแสไฟฟ้าไปเป็นพลังงานกลที่มอเตอร์เพื่อไปต่อ กับชุดเพื่อทำให้รถวิ่งได้ และเมื่อมอเตอร์ทำงานจะเกิดความร้อนในมอเตอร์ และแบตเตอรี่ขึ้น ความร้อนที่เกิดขึ้นนี้จะมีผลต่ออายุการทำงาน และประสิทธิภาพของมอเตอร์และแบตเตอรี่ลดลง ดังนั้นจึงต้องมีการระบายความร้อนออกจากอุปกรณ์ทั้งสอง

ด้วยสาเหตุดังกล่าวจึงทำให้เกิดแนวคิดในการศึกษาเกี่ยวกับการเกิดความร้อน และการระบายความร้อนออกจากมอเตอร์และแบตเตอรี่ โดยใช้หลักการของวิชา Heat Transfer มาใช้ในการศึกษาและพัฒนาระบบระบายความร้อนของมอเตอร์ และแบตเตอรี่ เพื่อให้มีอายุการทำงาน และประสิทธิภาพสูงสุด

1.2 วัตถุประสงค์ของโครงการ

1.2.1 เพื่อศึกษาการเกิดความร้อนมอเตอร์ของรถจักรยานไฟฟ้า

1.2.2 เพื่อศึกษาการถ่ายเทความร้อน การระบายความร้อนมอเตอร์ของรถจักรยานไฟฟ้า

1.2.3 เพื่อพัฒนาอุปกรณ์สำหรับการถ่ายเทความร้อน การระบายความร้อนมอเตอร์ของรถจักรยานไฟฟ้า

1.3 ขอบเขตการดำเนินงาน

1.3.1 ใช้มอเตอร์มอเตอร์ไฟฟ้ากระแสตรง รุ่น MY1016Z2 ขนาด 250W 24V และแบตเตอรี่ชีวิดตะกั่วกรด จำนวน 2 ก้อน ที่ใช้ในรถจักรยานไฟฟ้า

1.3.2 ออกแบบการระบายความร้อนโดยใช้ครึ่งอะลูมิเนียม และติดพัดลมขนาด 6X6X1.5 เซนติเมตร 12V

1.3.3 วัดอุณหภูมิที่เกิดขึ้นกับมอเตอร์ของรถจักรยานไฟฟ้าขณะขับขี่ เพื่อเปรียบเทียบระหว่างมีการระบายความร้อนกับไม่มีการระบายความร้อน

1.3.4 วัดอุณหภูมิขณะเร่งจาก 0-20 km/hr ขณะความเร็วคงที่ 20 km/hr 3 นาที และขณะเบรก 20-0 km/hr

1.3.5 ทำการทดสอบโดยการขับขี่บริเวณถนนในมหาวิทยาลัย

1.4 ขั้นตอนการดำเนินงาน

กิจกรรม	พ.ศ.2554			พ.ศ.2555		
	ก.ย	ต.ค	พ.ย	ธ.ค	ม.ค	ก.พ
1.ศึกษาและค้นหาข้อมูลที่เกี่ยวข้องกับ โครงการ						
2.ออกแบบการระบายน้ำภาค						
3.ติดตั้งตัวระบายน้ำร้อนใน มอเตอร์						
4.ทำการทดลอง และวิเคราะห์ผล การทดลอง						
5.ปรับปรุงและแก้ไข						
6.สรุปผลและเขียนรายงาน						

1.5 ประโยชน์ที่คาดว่าจะได้รับ

1.5.1 เพื่อเป็นแนวทางในการพัฒนาระบบระบายน้ำร้อนออกจากมอเตอร์ ที่ใช้ใน
รถจักรยานไฟฟ้า

1.6 รายละเอียดงบประมาณตลอดโครงการ

1.6.1 ค่าถ่ายเอกสารและเข้ารูปเล่ม	1500	บาท
1.6.2 ค่ากระดาษขนาด A4	500	บาท
1.6.3 ค่าอุปกรณ์	1000	บาท
รวมเป็นเงิน	3000	บาท

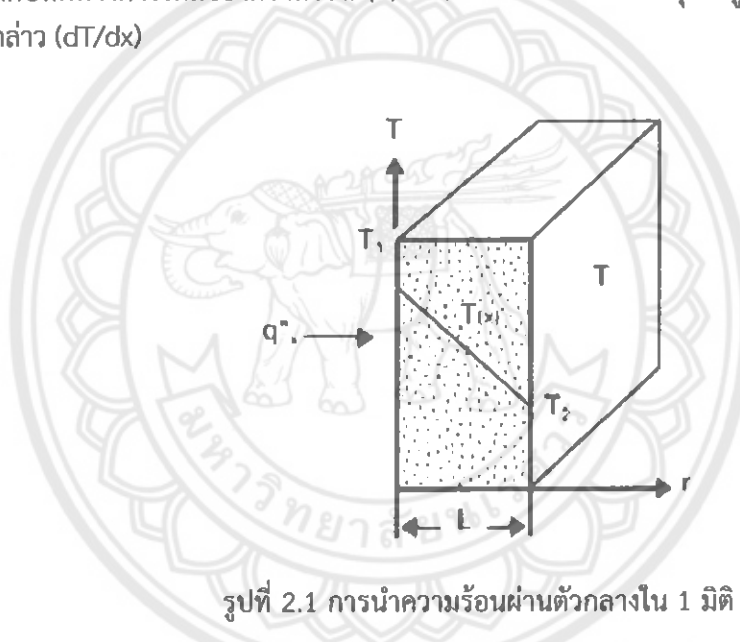
บทที่ 2

หลักการและทฤษฎีเบื้องต้น

2.1 การนำความร้อน (Conduction)

การนำความร้อน หมายถึง การส่งถ่ายความร้อนที่เกิดขึ้นในตัวกลาง อัตราการถ่ายเทความร้อนผ่านตัวกลาง จากด้านที่มีอุณหภูมิสูงไปสู่อุณหภูมิต่ำกว่า การนำความร้อนสามารถเกิดที่ขึ้นในตัวกลางที่เป็นของแข็ง ของเหลว และก๊าซ อัตราการถ่ายเทความร้อนผ่านตัวกลางแบบการนำความร้อน คำนวณจากกฎของฟูเรียร์ (Fourier's law)

กฎของฟูเรียร์กล่าวว่า การนำความร้อนผ่านตัวกลางในทิศทางใดทิศทางหนึ่ง อัตราการถ่ายเทความร้อน (\dot{Q}_x) ผ่านตัวกลางในทิศทางนั้น เป็นปฏิภาคโดยตรงกับพื้นที่ถ่ายเทความร้อนที่ตั้งฉากกับทิศทางการไหลของความร้อน (A) และมีการเปลี่ยนแปลงอุณหภูมิของตัวกลางในทิศทางดังกล่าว (dT/dx)



รูปที่ 2.1 การนำความร้อนผ่านตัวกลางใน 1 มิติ

ผลลัพธ์ความร้อนผ่านตัวกลางสามารถคำนวณได้จาก

$$\dot{q}'' = -k \frac{dT}{dx} \quad (2.1)$$

\dot{q}'' = ผลลัพธ์ความร้อน (W/m^2)

K=ค่าสภาพนำไปไฟฟ้า (Thermal conductivity) ($\text{W}/(\text{m}^2 \cdot \text{K})$)

ภายใต้สภาวะคงตัวและมีตัวกลางมี K เป็นค่าคงที่ อุณหภูมิ $T(x)$ เป็นฟังก์ชันเชิงเส้นดังรูปที่ 2.1

$$\text{ด้านบน} \quad q' = -k \frac{T_1 - T_2}{L} \quad (2.2)$$

สามารถคำนวณอัตราการนำความร้อนทั้งหมดบนพื้นผิว A จาก

$$\dot{Q}_x = \frac{kA(T_1 - T_2)}{L} \quad (2.3)$$

(\dot{Q}_x) = อัตราการถ่ายเทความร้อน (W)

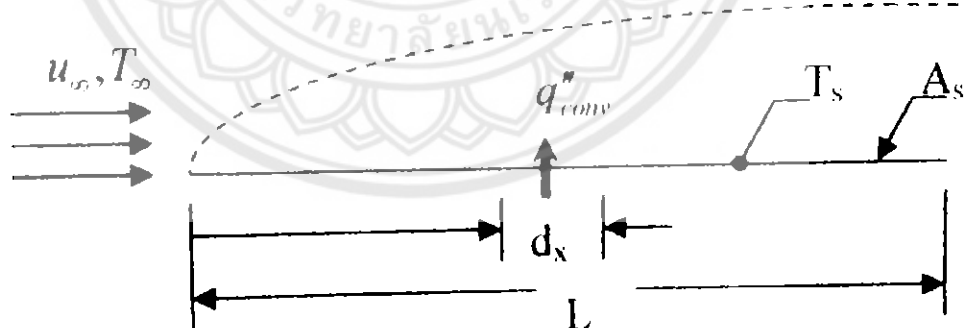
2.2 การพาความร้อน (Convection)

การถ่ายเทความร้อนโดยการพาความร้อน หมายถึง การถ่ายเทความร้อนระหว่างผิวของแข็ง กับของเหลว ส่งผลให้เกิดการถ่ายเทโน้มตัน ซึ่งมีผลต่อค่าสัมประสิทธิ์การถ่ายเทความร้อนที่ผิว ของแข็งนั้น (h) พลังงานความร้อนถูกถ่ายโอนเป็นพลังจากการแพร่ของโมเลกุล และผลจากการ เคลื่อนไหลไปทั้งปริมาตรของของเหลว ซึ่งสามารถแบ่งการถ่ายเทความร้อน โดยการพา 2 ชนิดดังนี้

1. การพาความร้อนธรรมชาติ (Free Convection) คือการไหลของของเหลวซึ่งเกิดจากความ แตกต่างของความหนาแน่นของของเหลว โดยเป็นผลจากอุณหภูมิที่เปลี่ยนแปลงไป

2. การพาความร้อนโดยบังคับ (Force Convection) คือการไหลของของเหลวที่เกิดจากแรง ภายนอกมากระทำ เช่น แรงที่เกิดจากพัดลม เครื่องสูบ ฯลฯ

จากรูปที่ 2.2 พิจารณาการพาความร้อนจากพื้นผิวของแข็งพื้นที่ A_s อุณหภูมิผิว T_s ขนาดของ ไอลิ่วผ่านด้วยความเร็ว U_∞ และอุณหภูมิ T_∞ คงที่ ความร้อนเฉพาะที่คำนวณ เป็นไปตามกฎการ ทำให้เย็นตัวลงของนิวตัน (Newton's law of cooling)



รูปที่ 2.2 การพาความร้อนในชั้นชิดผิวความร้อนและชั้นชิดผิวความเร็ว

$$\dot{q}_{conv} = h(T_s - T_\infty) \quad (2.4)$$

h = สัมประสิทธิ์การพาความร้อนเฉพาะที่ ($\text{W}/\text{m}^2 \cdot \text{K}$)

ดังนั้นสามารถคำนวณอัตราการพาความร้อนทั้งหมดบนพื้นผิว A_s จาก

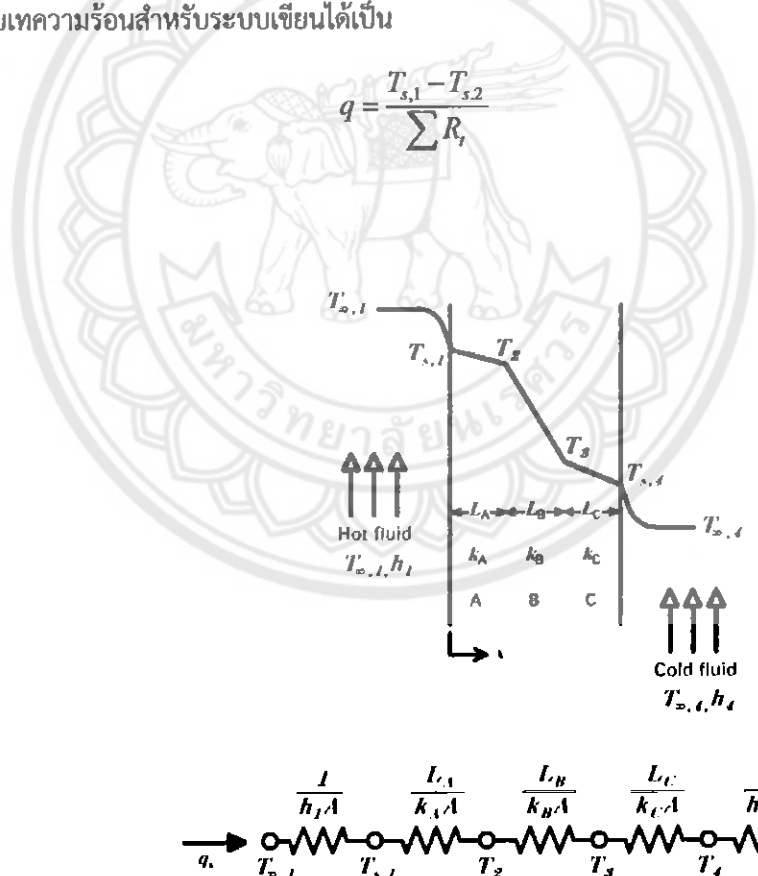
$$\dot{Q}_{conv} = \int_{A_s} \dot{q}_{conv} dA_s = (T_s - T_\infty) \int h dA_s \quad (2.5)$$

h_m =สัมประสิทธิ์การพาความร้อนเฉลี่ย ($\text{W}/\text{m}^2 \cdot \text{K}$)

2.3 การถ่ายเทความร้อนผ่านผนังหลายชั้น

สำหรับผนัง rab หลายชั้น (Composite wall) แบบมิติเดียว ไม่มีการดำเนินพลังงาน และอยู่ในสภาวะคงตัว การกระจายอุณหภูมิในแต่ละชั้นจะเป็นแบบสมการ (2.6) และอัตราการนำความร้อนในแต่ละผนังจะเป็นค่าคงที่ การเขียนสมการสมดุลพลังงานที่แต่ละผิวสัมผัสพบว่าอัตราการนำความร้อนมีค่าเท่ากันทั้งระบบ และวงจรความร้อนสำหรับผนังนี้จึงประกอบด้วยเป็นความต้านทานความร้อนต่อ กันแบบอนุกรม ซึ่งค่าของมันขึ้นอยู่กับชั้นของวัสดุต่างชนิด ดังวงจรในรูปที่ 2.3 และอัตราการถ่ายเทความร้อนสำหรับระบบเขียนได้เป็น

$$q = \frac{T_{s,1} - T_{s,2}}{\sum R_i} \quad (2.6)$$



รูปที่ 2.3 การนำความร้อนผ่านผนัง rab หลายชั้น และวงจรความร้อนแบบอนุกรม

$$q = \frac{T_{s,M} - T_{s,f}}{\frac{L}{k_M A} + \frac{L}{k_f A}} \quad (2.7)$$

2.4 การให้ผลภายนอกแบบราบเรียบ

การพิจารณาการให้ผลแบบบังคับ ซึ่งของไอลเคลื่อนที่ผ่านพื้นผิวโดยการกระทำของแรงภายนอก Film Temperature หาจาก

$$T_f = \frac{T_s - T_\infty}{2} \quad (2.8)$$

Local Nusselt number มีค่าเท่ากับ

$$Nu_L = \frac{hL}{k} = 0.332 (\text{Re}_x)^{1/2} (\text{Pr})^{1/3} \quad (2.9)$$

ค่าสัมประสิทธิ์การพาความร้อนเฉลี่ยสำหรับการให้ผลแบบราบเรียบหาได้จาก $h = 2h$ ดังนั้น average Nusselt number หาได้จาก

$$Nu_L = \frac{hL}{k} = 0.664 (\text{Re}_x)^{1/2} (\text{Pr})^{1/3} \quad (2.10)$$

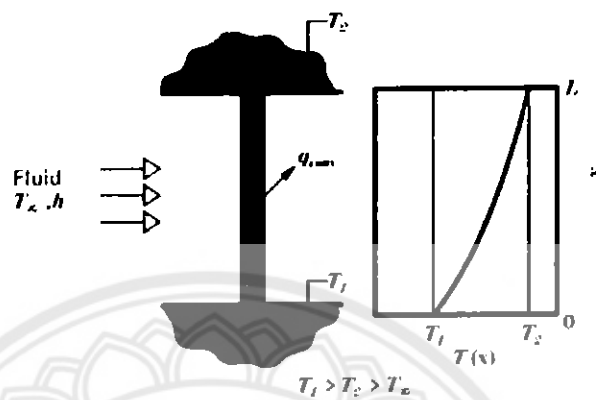
Reynold Nuber หาได้จาก

$$\text{Re} = \frac{u_\infty L}{v} \quad (2.11)$$

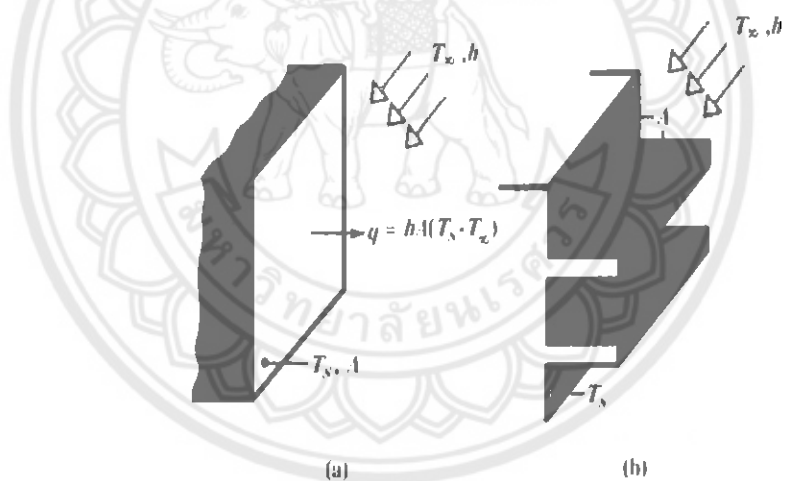
2.5 ครีบระบายความร้อน

พื้นผิวที่ยื่นไปในของไอล (extended surface) โดยทั่วไปนั้นหมายถึงของแข็งซึ่งมีการถ่ายเทความร้อนภายในผิวและมีการพาความร้อน (อาจจะมีการแผ่ร้อนสีความร้อนรวมด้วย) ระหว่างพิวของครีบระบายความร้อนกับสิ่งแวดล้อม ระบบตั้งกล่าวแสดงในภาพที่ 2.4 ซึ่งเป็นท่อโลหะต่อระหว่างผนังสองอัน ท่อนี้ถูกใช้เป็นตัวยึด (mechanical support) ระหว่างผนังทั้งสองซึ่งมีอุณหภูมิต่างกัน การเปลี่ยนแปลงอุณหภูมิในทิศทาง x ทำให้เกิดการนำความร้อนภายในแผ่นแท่ง ซึ่งในขณะเดียวกันก็จะมีการพาความร้อนจากพื้นผิวของครีบระบายความร้อน แม้ว่าจะมีหลายสถานการณ์ซึ่งเกี่ยวพันกับผลกระทบของการนำและการพาความร้อน แต่กรณีในทางปฏิบัติได้แก่กรณีที่พื้นผิวยื่นไปในของไอลนั้นถูกนำไปใช้เพื่อเพิ่มอัตราการถ่ายความร้อนระหว่างของแข็งและของไอล พื้นผิวดังกล่าวนี้ เรียกว่า “ครีบระบายความร้อน (fin)” พิจารณาญูปที่ 2.5a ถ้า T_s เป็นค่าคงที่ อัตราการถ่ายเทความร้อนจากผนังสามารถเพิ่มขึ้นได้สองวิธีคือ โดยการเพิ่มค่าสัมประสิทธิ์การพาความร้อน h ซึ่งทำได้ด้วยการเพิ่มความเร็วของไอล และอีกวิธีคือทำให้อุณหภูมิของของไอล T_∞ ลดลง อย่างไรก็ได้จะพบว่าในหลายกรณีแม้ว่าค่า h จะเพิ่มสูงจนไม่อmegaเพิ่มไปอีกด้วย แต่ยังไม่พอเพียงต่อการเพิ่มอัตราการถ่ายเทความร้อนให้ได้ตามความต้องการ หรือไม่ก็อาจทำให้ค่าใช้จ่ายสูงมาก ค่าใช้จ่ายดังกล่าว้นั้นสัมพันธ์กับกำลังงานที่ใช้ในการขับพัดลม หรือเครื่องสูบ เพื่อใช้ในการเพิ่มค่า h โดยการเพิ่มความเร็วของของไอล ส่วนวิธีที่

สอง คือการลดอุณหภูมิของไอล์ T_∞ นั้นແທบจะงบภูบตไม่ได้ จากรูปที่ 2.5b สังเกตได้ว่ามีอีกวิธีหนึ่งที่ทำได้ คือการเพิ่มพื้นที่ของพื้นผิวที่มีการพาความร้อน โดยการติดครีบระบายความร้อนซึ่งยื่นออกมาจากผนังสู่ของไอล์ที่ล้อมรอบ ค่าสัมประสิทธิ์การนำความร้อนของครีบมีผลโดยตรงต่อการกระจายอุณหภูมิตลอดตัวครีบ ดังนั้นจึงมีผลต่อการเพิ่มการส่งถ่ายความร้อน



รูปที่ 2.4 ผลกระทบของการนำความร้อน และการพาความร้อน



รูปที่ 2.5 การใช้ครีบระบายความร้อน เพื่อเพิ่มอัตราการระบายความร้อนจากผนัง

2.6 ประสิทธิภาพรวมของระบบที่ติดครีบ (Overall Surface Efficiency)

ในทางปฏิบัติความร้อนที่ระบบออกจากระบบมีได้ระบบออกเฉพาะในส่วนที่มีครีบ เนื่องจาก แต่ระบบออกจากส่วนที่ไม่ได้ติดครีบอีกด้วย ดังนั้นการพิจารณาว่าระบบมีการระบายความร้อนได้ดีเพียงใดนั้นจึงต้องพิจารณา รวมทั้งระบบ เราให้ความของประสิทธิภาพดังนี้

$$\eta_0 = \frac{q_i}{q_{\max}} = \frac{q_i}{hA_t\theta_b} \quad (2.12)$$

โดย q_i และ A_t คืออัตราการระบายความร้อนและพื้นที่ผิวรวมทั้งระบบ อัตราการระบายความร้อนสูงสุดเกิดขึ้นเมื่อ ทั้งระบบมีอุณหภูมิเท่ากับที่ฐาน T_b พื้นที่ผิวรวมเรามารถแยกออกเป็นพื้นที่ผิวของฐานส่วนไม่มีครีบ และพื้นที่ของครีบ

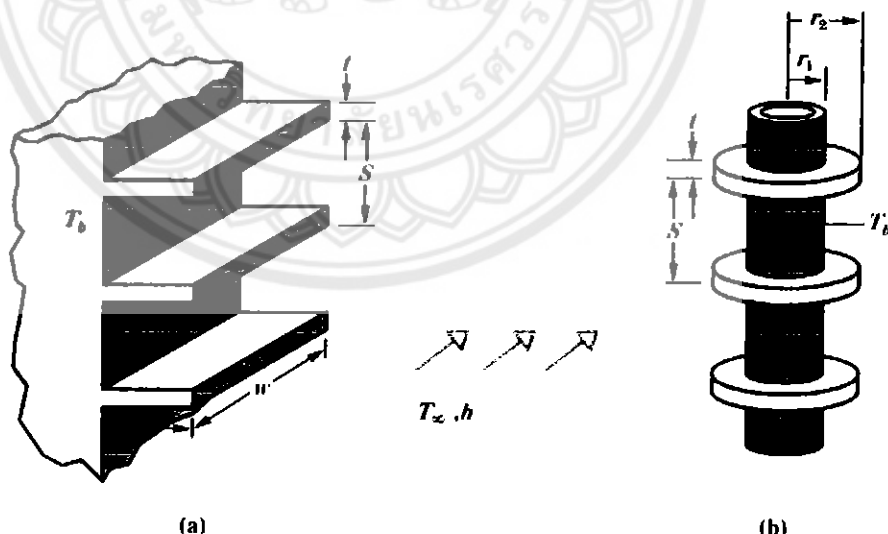
ดังนั้นอัตราการระบายความร้อนทั้งหมด คือ $A_t = A_b + A_f$

$$q_f = hA_b\theta_b + hA_f\eta_f\theta_b \quad (2.13)$$

โดย η_f คือ ประสิทธิภาพของครีบอันเดียว สมการ 2.10 จัดรูปใหม่ได้เป็น

$$q_f = hA_t[1 - \frac{NA_f}{A_t}(1 - \eta_f)]\theta_b \quad (2.14)$$

$$\eta_f = 1 - \frac{A_f}{A_t}(1 - \eta_f) \quad (2.15)$$

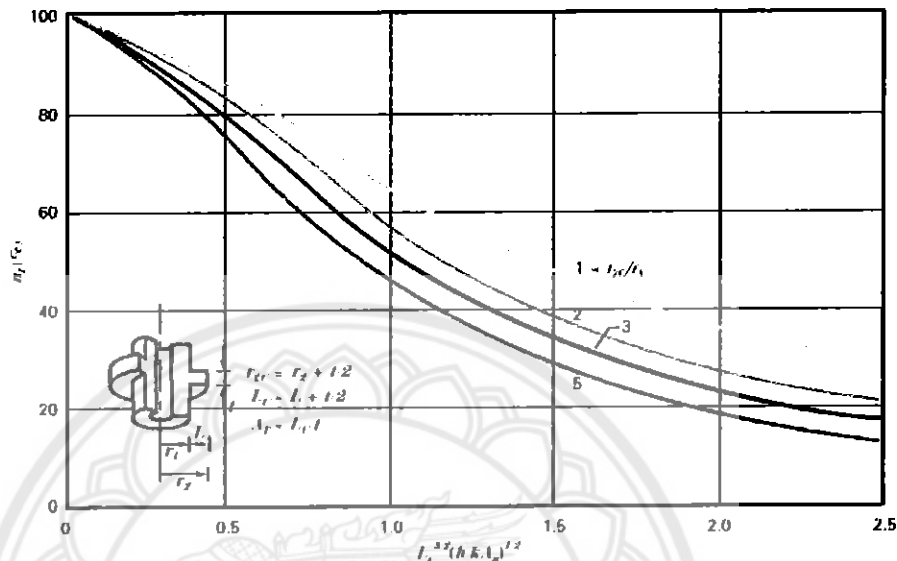


รูปที่ 2.6 การติดครีบทลายอันเข้ากับผนัง

ครึ่งรูปวงแหวนทำได้จาก

$$A_t = 2\pi (r_{2c}^2 - r_i^2) \quad (2.16)$$

ประสิทธิภาพของครึ่งรูปวงแหวนทำได้จากรูปที่ 2.7



รูปที่ 2.7 ประสิทธิภาพของครึ่งวงแหวน

2.8 คุณสมบัติของอลูมิเนียม

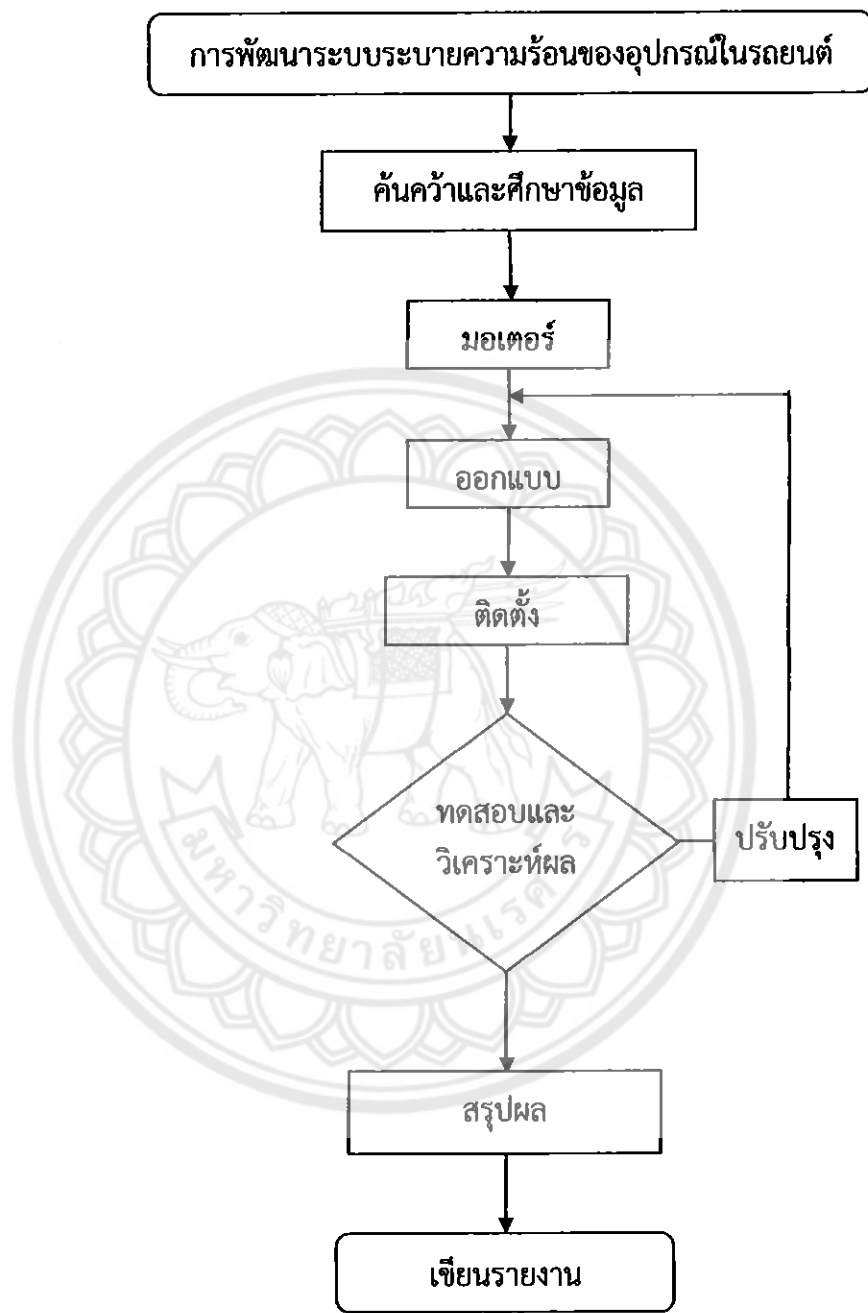
อลูมิเนียมสามารถบรรยายความร้อนได้ดี สังเกตได้จากการใช้วัสดุอลูมิเนียมกับชิ้นงานที่ต้องทนความร้อนอลูมิเนียมมีคุณสมบัติที่ไม่ทำให้เกิดสนิม ทนฝน ทนแดด น้ำหนักเบา

คุณสมบัติทางฟิสิกส์ (Physical Properties)

จุดหลอมเหลว	660.2 °C
จุดเดือด	2450 °C
ความร้อนแห้งของการหลอมละลาย	94.5 cal/g
ความร้อนแห้งของการเป็นไอ	2260 cal/g
ความร้อนจำเพาะที่ 100°C	0.224 cal/g
การนำความร้อนที่ 20°C	0.57 cal/g
สัมประสิทธิ์การถ่ายเทความร้อน (K)	175.63 W/m.K

บทที่ 3

วิธีดำเนินโครงการและการทดลอง



การทดลองทดสอบแบ่งเป็น 6 การทดลองซึ่งเป็นการวัดอุณหภูมิของมอเตอร์แล้วครีบระบายน้ำร้อน โดยการทดลองที่ 1 ไม่มีการระบายน้ำร้อนและทำการบันทึกข้อมูลเพื่อนำไปเปรียบเทียบและวิเคราะห์ผลกับผลการทดลองตอนที่ 2 ตอนที่ 3 ซึ่งเป็นการทดลองที่มีการระบายน้ำร้อนโดยมีการติดครีบและพัดลมเพื่อระบายน้ำร้อน ซึ่งทั้งสามตอนนี้เป็นการวัดค่าแบบ Statics และการทดลองที่ 4 ไม่มีการระบายน้ำร้อนและทำการบันทึกข้อมูลเพื่อนำไปเปรียบเทียบและวิเคราะห์ผลกับผลการทดลองตอนที่ 5 ตอนที่ 6 ซึ่งเป็นการทดลองที่มีการระบายน้ำร้อนโดยมีการติดครีบและพัดลมเพื่อระบายน้ำร้อน โดยเป็นการทดลองวัดอุณหภูมิจากอัตราการเร่งความเร็วคงที่ และอัตราการเบรก ของรถจักรยานไฟฟ้า ล้วนนำข้อมูลทั้งหมดที่ได้ของแต่ละการทดลองมาสร้างกราฟเพื่อทำการวิเคราะห์ผลการทดลอง

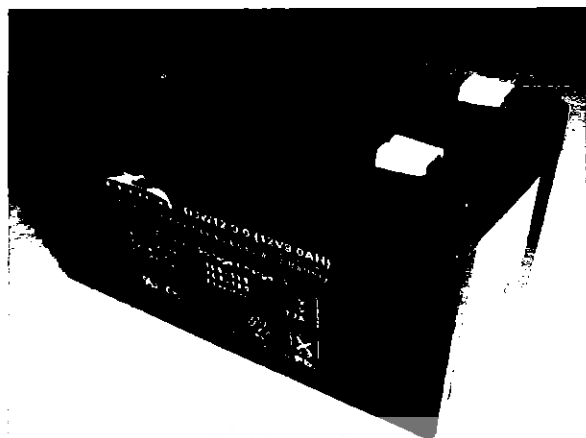
3.1 อุปกรณ์ในการดำเนินโครงการ

3.1.1 มอเตอร์ไฟฟ้ากระแสตรง รุ่น MY1016Z2 ขนาด 250W 24V



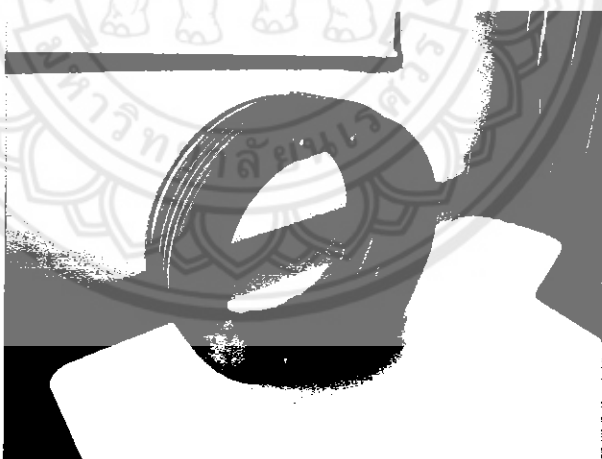
รูปที่ 3.1 มอเตอร์ไฟฟ้ากระแสตรง รุ่น MY1016Z2 ขนาด 250W 24V

3.1.2 แบตเตอรี่ชีมิคตะกั่วกรด 12V จำนวน 2 ก้อน



รูปที่ 3.2 แบตเตอรี่ชีมิคตะกั่วกรด 12V

3.1.3 ครึบอลูมิเนียม Aluminum alloy 2074-76 ค่า $K = 175.63 \text{ W/m.K}$ จากภาคผนวก
ก. ตารางที่ ก.4 A.1 Thermophysical Properties of Selected Metallic Solid



รูปที่ 3.3 ครึบอลูมิเนียม

3.1.4 พัดลม 12 โวลต์ ขนาด 6X6X1.5 เซนติเมตร จำนวน 1 ตัว ใช้ในการระบายอากาศ
ครึบ



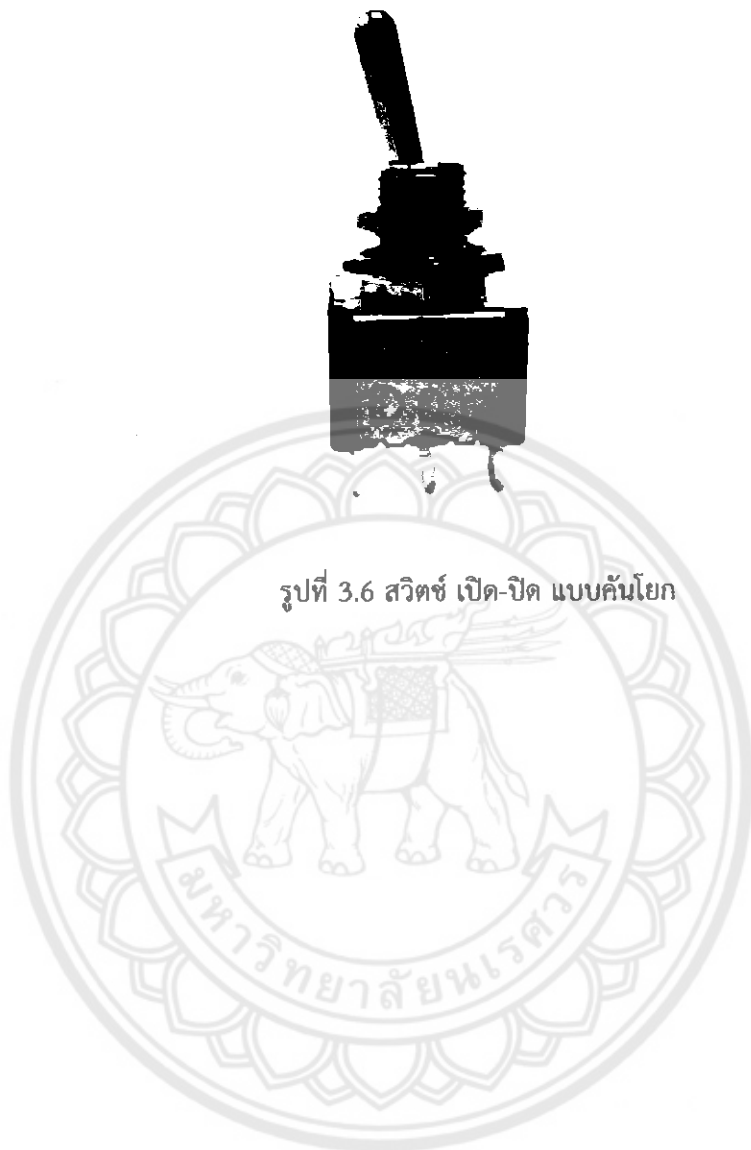
รูปที่ 3.4 พัดลมระบายอากาศ

3.1.5 Differential Temperature Datalogger ยี่ห้อ EXTECH INSTRUMENTS รุ่น
HD200 ใช้ในการวัดอุณหภูมิของมอเตอร์และครีบระบายความร้อน ดังรูปที่ 3.5



รูปที่ 3.5 เทอร์โมมิเตอร์

3.1.6 สวิตซ์เปิด-ปิด แบบคันโยก ใช้การเปิด-ปิด พัดลมระบายอากาศ ดังรูปที่ 3.6



รูปที่ 3.6 สวิตซ์ เปิด-ปิด แบบคันโยก

3.2 การออกแบบเครื่องรับความร้อน

3.2.1 การคำนวณออกแบบเครื่องรับความร้อน

เนื่องจากการขับขี่รถจักรยานไฟฟ้า มอเตอร์มีอุณหภูมิสูงสุด 62.4°C และเมื่อคำนวณอัตราการถ่ายเทความร้อนจะได้ 7.89 W แต่ต้องการที่จะลดอุณหภูมิของมอเตอร์ให้เหลือ 52°C และอัตราการถ่ายเทความร้อน 12 W จึงได้คำนวณและออกแบบเครื่องดังนี้

เนื่องจากการวัดสูดที่ใช้ทำเครื่องรับความร้อนนั้น เป็นอลูมิเนียมซีล์ฟองอลูมิเนียมที่มีขายตามห้องตลาดมีเพียงแผ่นที่มีความหนา 3 mm . เท่านั้น ต้องคำนึงถึงการตัดและการนำประกอบกันที่จะให้หักได้ จึงกำหนดค่าต่างๆ ของเครื่องดังต่อไปนี้

$$t = 0.003 \text{ m}, S = 0.006 \text{ m}, \text{รัศมีของมอเตอร์} (r_1) = 0.515 \text{ cm}, r_2 = 0.0725 \text{ m}$$

$$\begin{aligned} \text{จาก } A_f &= 2\pi(r_{2c}^2 - r_1^2) \\ &= 2\pi((0.0725^2 + 0.0015)^2 - 0.0515^2) \\ &= 0.018 \text{ m}^2 \end{aligned}$$

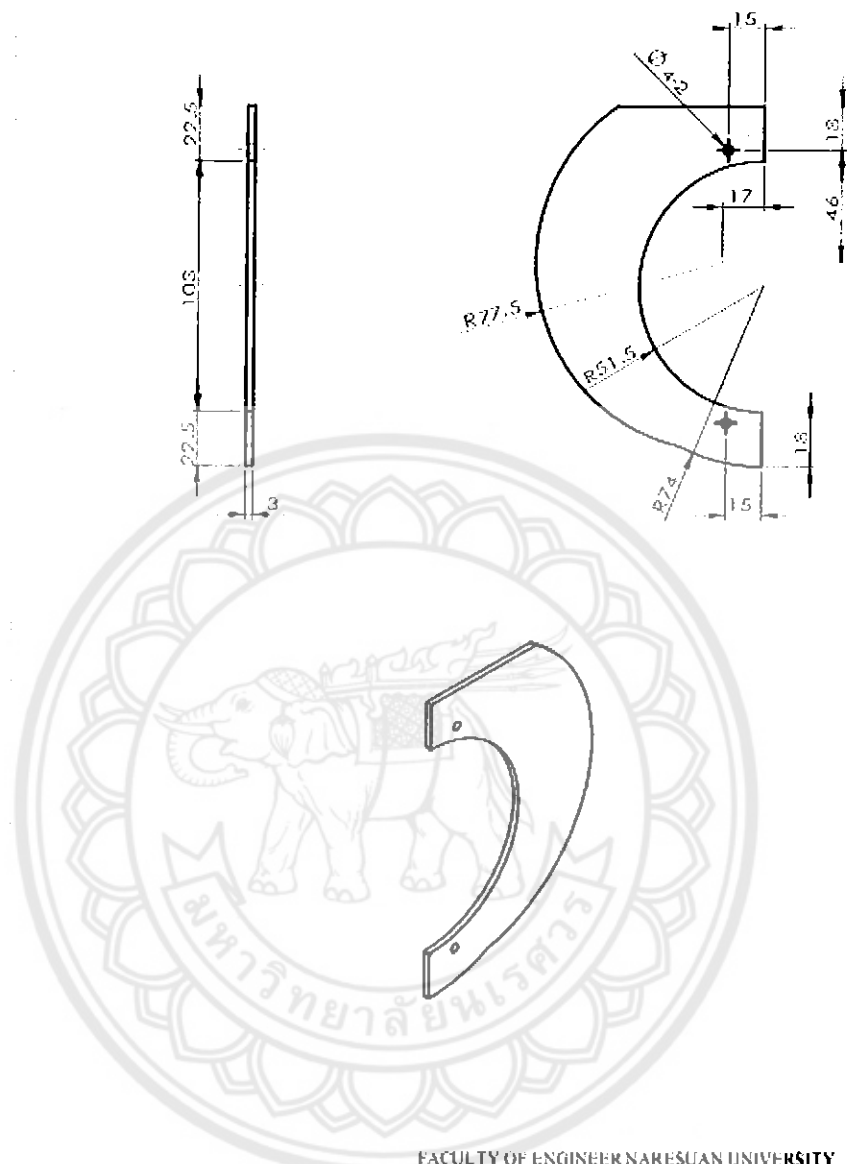
$$\begin{aligned} \text{จาก } A_t &= NA_f + 2\pi r_1(H - Nt) \\ &= (7 \times 0.018) + 2\pi(0.0515)(0.039 - (7 \times 0.003)) \\ &= 0.12 \text{ m}^2 \end{aligned}$$

$$\begin{aligned} \text{จาก } q_r &= hA_t \left[1 - \frac{NA_f}{A_t} (1 - \eta_f) \right] \theta_b \\ &= 19.66(0.12) \left[1 - \frac{7(0.018)}{0.12} (1 - 0.65) \right] (37 - 30) \\ &= 10.44 \text{ W} \end{aligned}$$

3.2.2 การออกแบบโดยใช้โปรแกรม Solidwork ในการเขียนแบบจำลองของครึ่งที่ใช้ในการ
ระบายน้ำความร้อน



โดยการออกแบบตัดแผ่นอลูมิเนียม ตามรูปที่ 3.8, 3.9, 3.10 แล้วนำมาประกอบเป็นครึ่ง
ระบายน้ำความร้อนตามรูปที่ 3.7



FACULTY OF ENGINEERING NARESUAN UNIVERSITY

FIN A

SCALE : 1:1

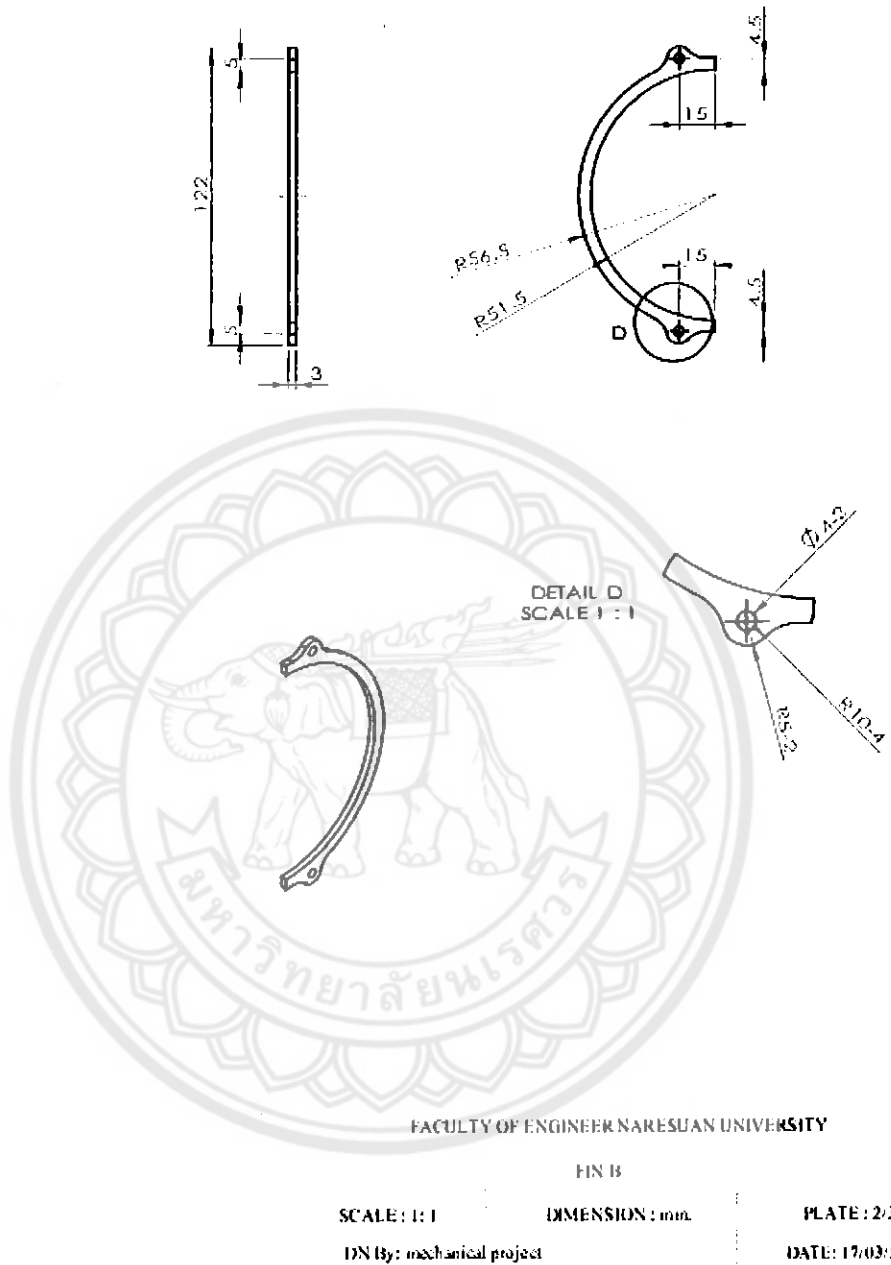
DIMENSION : mm.

PLATE : 1/3

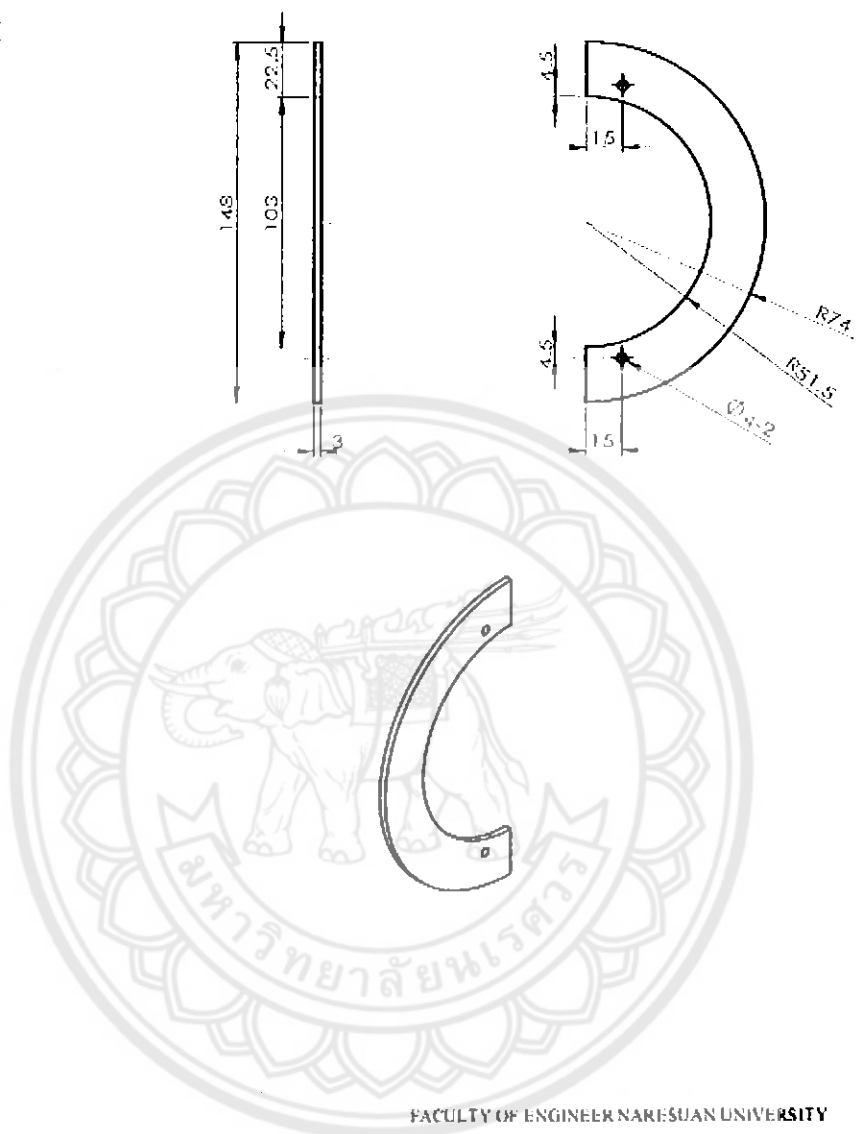
DN By: mechanical project

DATE: 17/03/55

รูปที่ 3.8 การออกแบบครีบระบายความร้อน



รูปที่ 3.9 การออกแบบเครื่องหมายความร้อน



HN C

SCALE : 1:1

DIMENSION : mm

DN By : mechanical project

PLATE : 3/3

DATE: 17/03/55

รูปที่ 3.10 การออกแบบครึ่งรูปโดยความร้อน

3.3 ขั้นตอนการทดลอง

3.3.1 การทดลองตอนที่ 1

ขั้นตอนการทดลอง

1. การติดตั้งมอเตอร์เข้ากับรถจักรยาน โดยการขับรถจักรยาน 1 ชั่วโมง โดยที่ความเร็วเฉลี่ยของรถจักรยาน 20 กิโลเมตรต่อชั่วโมง

2. บันทึกผลทุกๆ 5 นาที โดยทำการวัดอุณหภูมิทั้ง 3 จุด คือ ด้านซ้ายมอเตอร์ ด้านหน้ามอเตอร์ และด้านหลังมอเตอร์ ดังรูปที่ 3.11

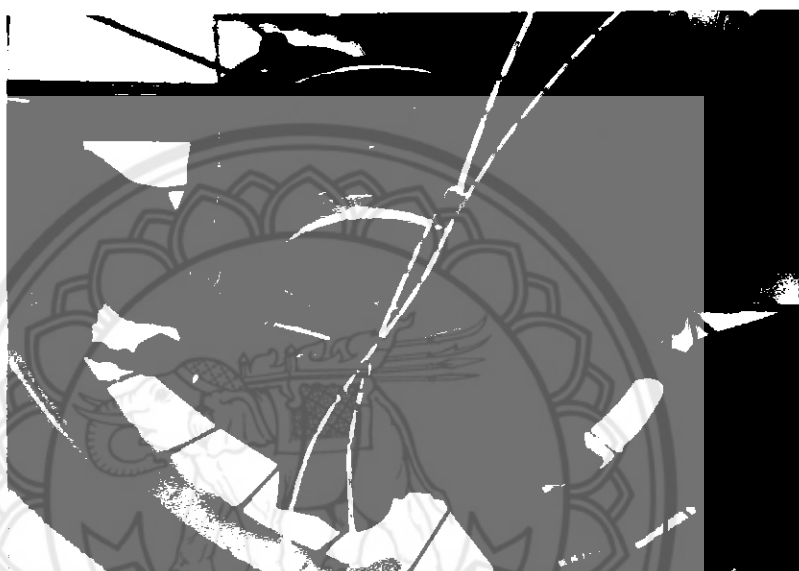


รูปที่ 3.11 การวัดอุณหภูมิของมอเตอร์

3.3.2 การทดลองตอนที่ 2

ขั้นตอนการทดลอง

1. การติดตั้งมอเตอร์เข้ากับรถจักรยาน และติดตั้งครึ่งระบบความร้อนที่มอเตอร์ โดยการขับรถจักรยาน 1 ชั่วโมง โดยที่ความเร็วเฉลี่ยของรถจักรยาน 20 กิโลเมตรต่อชั่วโมง
2. บันทึกผลทุกๆ 5 นาที ทำการวัดอุณหภูมิทั้ง 5 จุด คือ ด้านข้างมอเตอร์ ด้านหน้ามอเตอร์ ครึ่งด้านหน้ามอเตอร์ ด้านหลังมอเตอร์ และครึ่งด้านหลังมอเตอร์ ดังรูปที่ 3.12

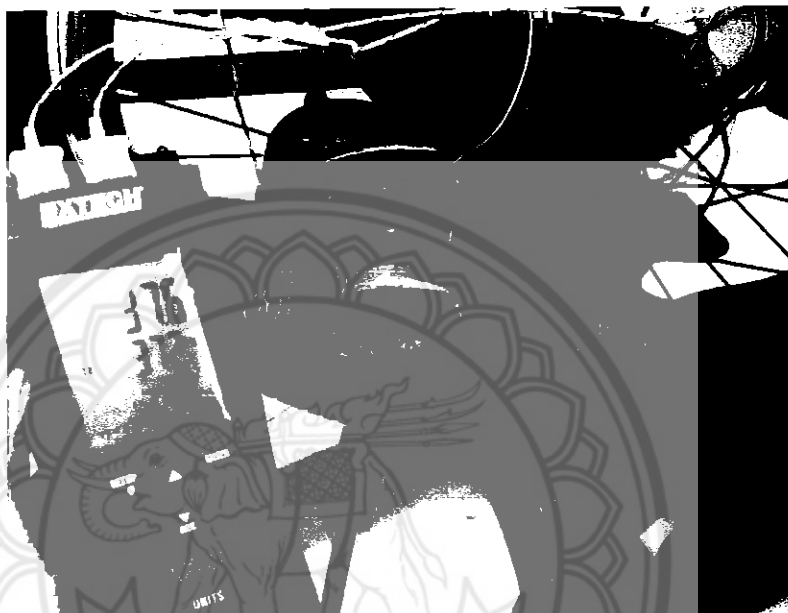


รูปที่ 3.12 การวัดอุณหภูมิของมอเตอร์และครึ่ง

3.3.3 การทดลองตอนที่ 3

ขั้นตอนการทดลอง

1. การติดตั้งมอเตอร์เข้ากับรถจักรยาน และติดตั้งครีบและติดพัดลมระบบฯความร้อน โดยการขับรถจักรยาน 1 ชั่วโมง โดยที่ความเร็วเฉลี่ยของรถจักรยาน 20 กิโลเมตรต่อชั่วโมง
2. บันทึกผลทุกๆ 5 นาที ทำการวัดอุณหภูมิทั้ง 5 จุด คือ ด้านข้างมอเตอร์ ด้านหน้ามอเตอร์ ครีบด้านหน้ามอเตอร์ ด้านหลังมอเตอร์ และครีบด้านหลังมอเตอร์ ดังรูปที่ 3.13



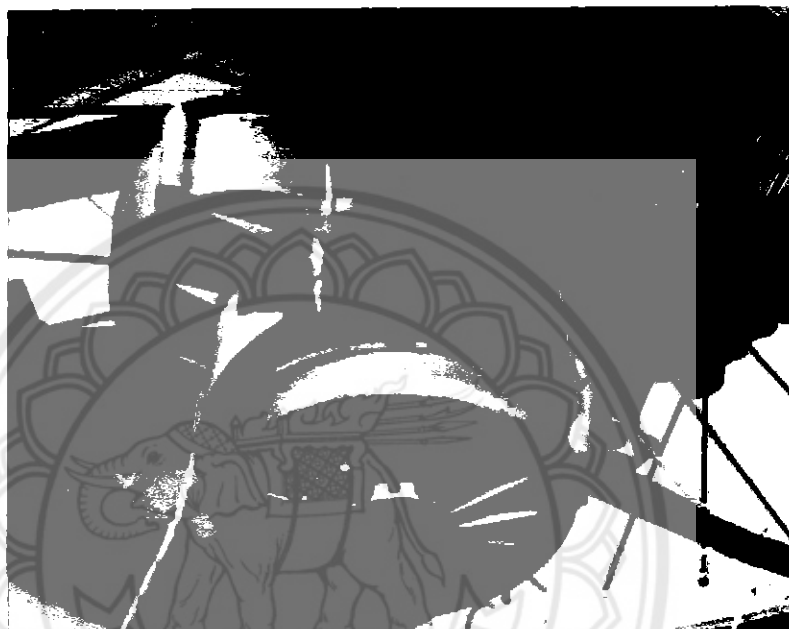
รูปที่ 3.13 การวัดอุณหภูมิของมอเตอร์และครีบเมื่อติดพัดลมระบบฯความร้อน

3.3.4 การทดสอบท่อนที่ 4

ขั้นตอนการทดลอง

1. การติดตั้งมอเตอร์เข้ากับรถจักรยาน

2. วัดอุณหภูมิและบันทึกผล เริ่มจากที่ความเร็ว 0, 5, 10, 15, 20 km/hr และความเร็วคงที่ที่ 20 km/hr บันทึกผลทุกๆ 30 วินาที เป็นเวลา 3 นาที และตอนเบรกที่ความเร็ว 15, 10, 5, 0 km/hr ดังรูปที่ 3.14

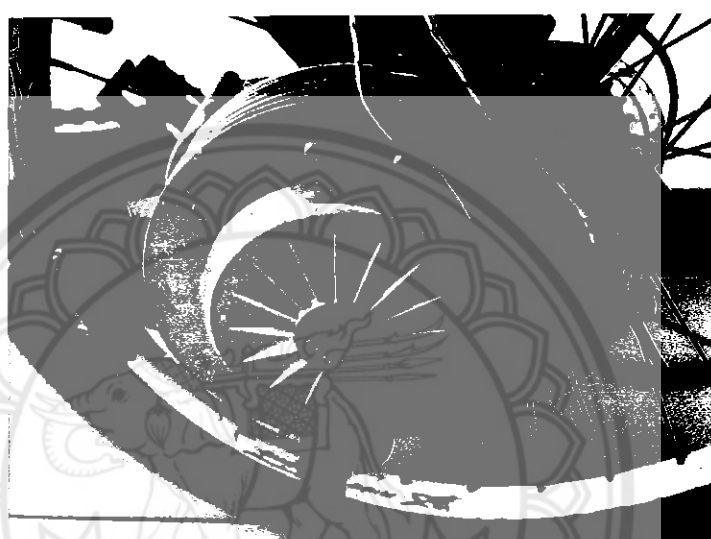


รูปที่ 3.14 การวัดอุณหภูมิของมอเตอร์

3.3.5 การทดลองตอนที่ 5

ขั้นตอนการทดลอง

1. การติดตั้งมอเตอร์เข้ากับรถจักรยาน โดยการติดตั้งครึ่งระบบายความร้อน
2. วัดอุณหภูมิและบันทึกผล เริ่มจากที่ความเร็ว 0, 5, 10, 15, 20 km/hr และความเร็วคงที่ 20 km/hr บันทึกผลทุกๆ 30 วินาที เป็นเวลา 3 นาที และตอนเบรกที่ความเร็ว 15, 10, 5, 0 km/hr ดังรูปที่ 3.15



รูปที่ 3.15 การวัดอุณหภูมิของมอเตอร์และครึ่งเมื่อระบบายความร้อน

1599 86 33

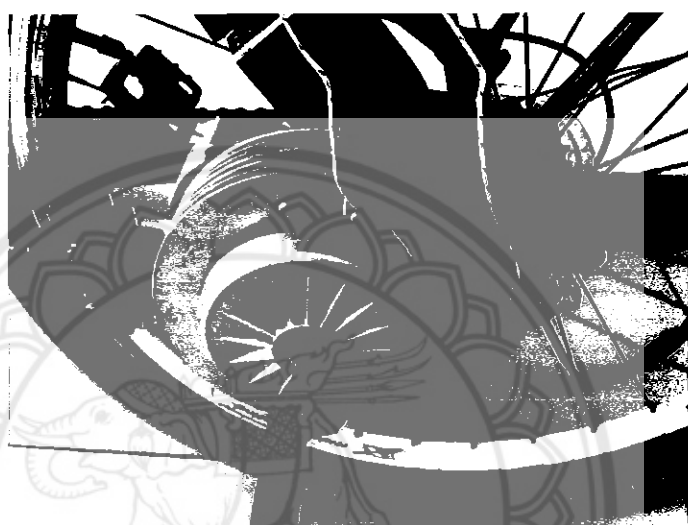
พ.
๕๖๗

๒๖๔

3.3.6 การทดลองท่อนที่ 6

ขั้นตอนการทดลอง

1. การติดตั้งมอเตอร์เข้ากับรถจักรยาน โดยการติดตั้งครึ่บและพัดลมระบายความร้อน
2. วัดอุณหภูมิและบันทึกผล เริ่มจากที่ความเร็ว 0, 5, 10, 15, 20 km/hr และความเร็วคงที่ที่ 20 km/hr บันทึกผลทุกๆ 30 วินาที เป็นเวลา 3 นาที และตอนเบรกที่ความเร็ว 15, 10, 5, 0 km/hr ดังรูปที่ 3.16



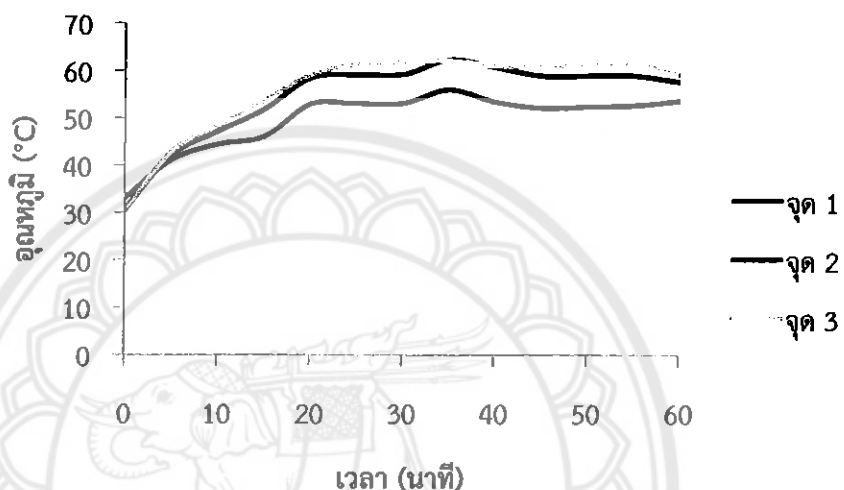
รูปที่ 3.16 การวัดอุณหภูมิของมอเตอร์และครึ่บเมื่อติดพัดลมระบายความร้อน

บทที่ 4

ผลการทดลองและวิเคราะห์

จากการทดลองการเกิดความร้อนและการระบายความร้อนของมอเตอร์ ซึ่งนำมาแสดงผลการทดลองดังต่อไปนี้

4.1 การวิเคราะห์ผลการทดลองตอนที่ 1



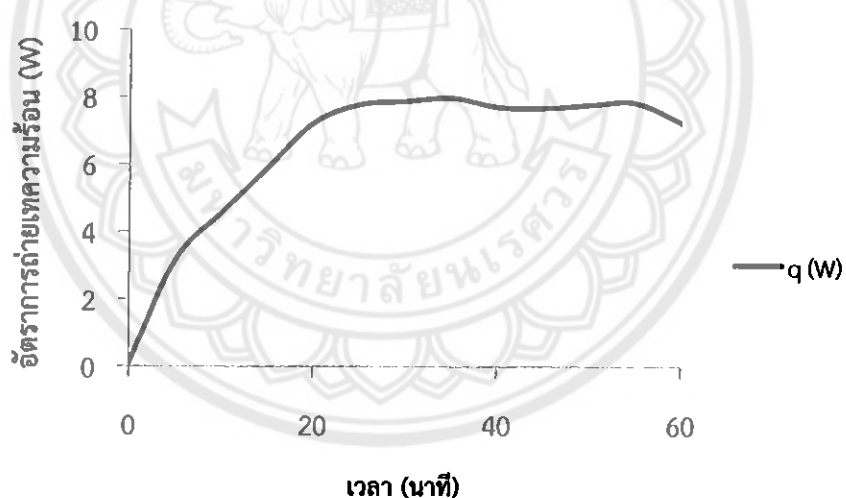
รูปที่ 4.1 แสดงความสัมพันธ์ระหว่างเวลา กับ อุณหภูมิของมอเตอร์

จากการทดลองที่ 1 เมื่อเริ่มขับรถในช่วงแรกกราฟจะมีความชันมากและจะมีอุณหภูมิสูงสุดที่เวลา 20-35 นาที และจะค่อยๆลดลงเนื่องจากแบบเทอร์มีไฟฟ้าไม้ออยล์ สามารถนำค่าอุณหภูมิมาคำนวณหาค่าอัตราการถ่ายเทความร้อน ได้ดัง รูปที่ 4.2 เพื่อเปรียบเทียบกับการทดลองที่ 2, 3

ตารางที่ 4.1 แสดงการข้อมูลจากการคำนวณค่าการถ่ายเทความร้อนของการทดลองที่ 1

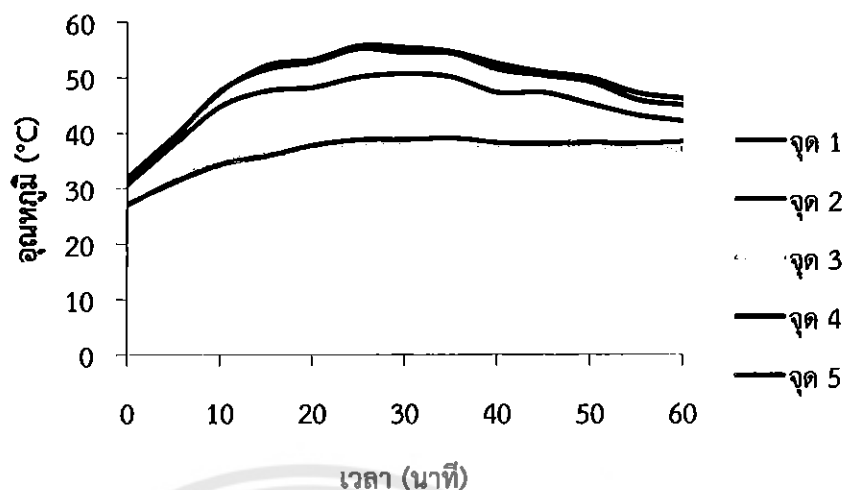
เวลา (นาที)	q (W)
0	0.10
5	3.17
10	4.56
15	5.90
20	7.23
25	7.78
30	7.88
35	7.98
40	7.70
45	7.68
50	7.78
55	7.83
60	7.23

สามารถนำค่าจากการคำนวณอัตราการถ่ายเทความร้อนในการรูปที่ 4.2



รูปที่ 4.2 แสดงความสัมพันธ์ระหว่างเวลา กับ อัตราการถ่ายเทความร้อนของมอเตอร์

4.2 การวิเคราะห์ผลการทดลองท่อนที่ 2



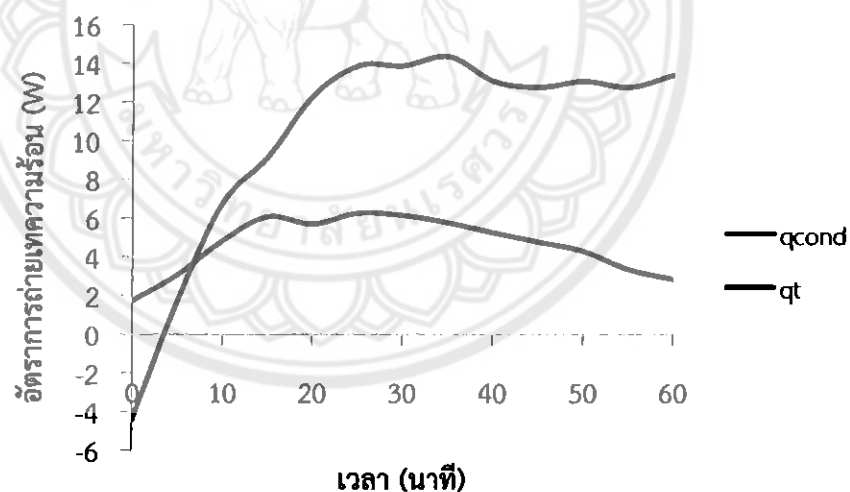
รูปที่ 4.3 แสดงความสัมพันธ์ระหว่างเวลา กับ อุณหภูมิ มอเตอร์ที่ติดคิริบารายความร้อน

จากการทดลองที่ 2 นี้เริ่มขึ้บรถในช่วงแรกกราฟจะมีความชันมากและจะมีอุณหภูมิสูงสุดที่เวลา 20-35 นาที และจะค่อยๆลดลงเนื่องจากแบบเตอร์มีการแสงไฟฟ้าน้อยลง อุณหภูมิจะต่ำกว่าการทดลองที่ 1 เมื่อจากความร้อนจะมีการถ่ายเทไปยังคิริบารายความร้อน จะได้ค่าอัตราการถ่ายเทความร้อนจากการคำนวณในโปรแกรม Excel และไว้ในตารางที่ 4.2

ตารางที่ 4.2 แสดงการข้อมูลจากการคำนวณค่าการถ่ายเทความร้อนของการทดลองที่ 2

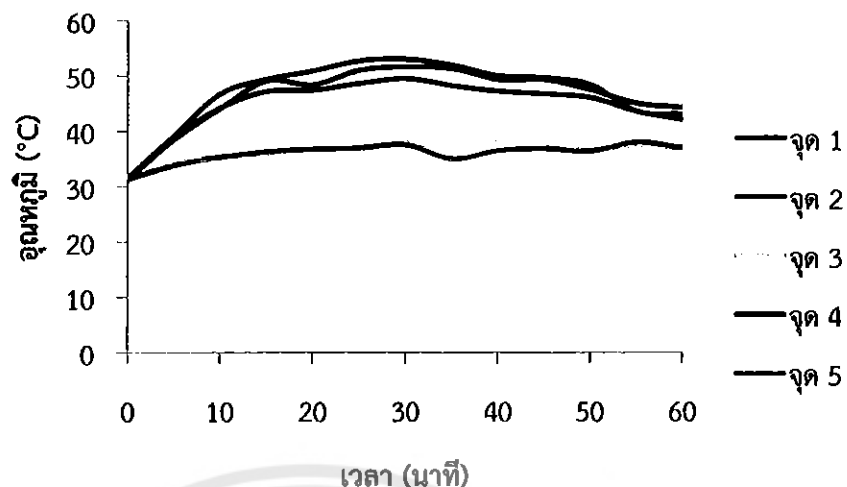
เวลา	q_{cond} (W)	q_t (W)
0	1.74	-4.42
5	3.07	1.74
10	4.85	6.79
15	6.07	9.15
20	5.70	12.31
25	6.26	13.89
30	6.14	13.89
35	5.77	14.36
40	5.26	13.10
45	4.77	12.78
50	4.29	13.10
55	3.37	12.78
60	2.85	13.42

สามารถนำค่าจากการคำนวณอัตราการถ่ายเทความร้อนในตารางที่ 4.2 มาแสดงในการรูปที่ 4.4



รูปที่ 4.4 แสดงความสัมพันธ์ระหว่างเวลา กับ อัตราการถ่ายเทความร้อนของมอเตอร์ที่ติดครึ่งระบบความร้อน

4.3 การวิเคราะห์ผลการทดลองที่ 3



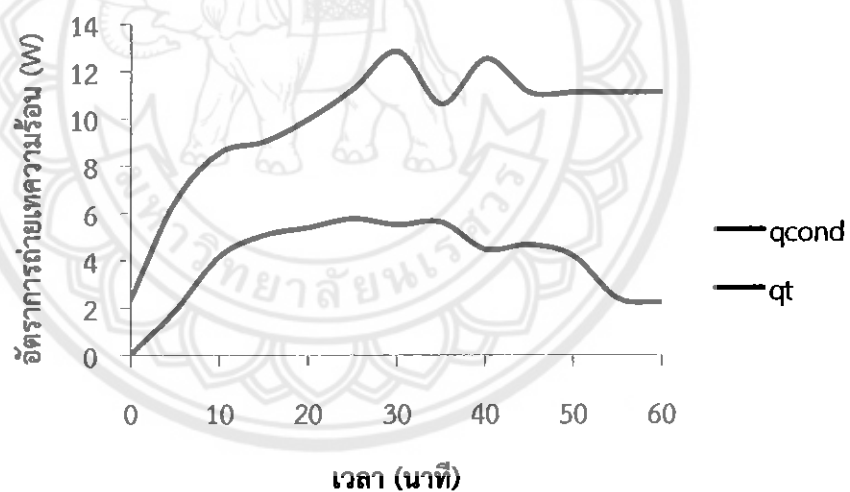
รูปที่ 4.5 แสดงความสัมพันธ์ระหว่างเวลา กับ อุณหภูมิของน้ำเทอร์ทิคเครื่องรับความร้อนและพัดลมระบายอากาศ

จากการทดลองที่ 3 เมื่อเริ่มขับรถในช่วงแรกกราฟจะมีความชันมากและจะมีอุณหภูมิสูงสุดที่เวลา 20-35 นาที และจะค่อยๆลดลงเนื่องจากแบตเตอรี่มีการเสไฟฟ้าน้อยลง อุณหภูมิจะต่ำกว่าการทดลองที่ 1 และ 2 เนื่องจากความร้อนจะมีการถ่ายเทไปยังเครื่องรับความร้อนและมีการติดพัดลมระบายอากาศช่วย จึงได้ค่าอัตราการถ่ายเทความร้อนจากการคำนวณในโปรแกรม Excel แสดงไว้ในตารางที่ 4.3

ตารางที่ 4.3 แสดงการข้อมูลจากการคำนวณค่าการถ่ายเทความร้อนของการทดลองที่ 3

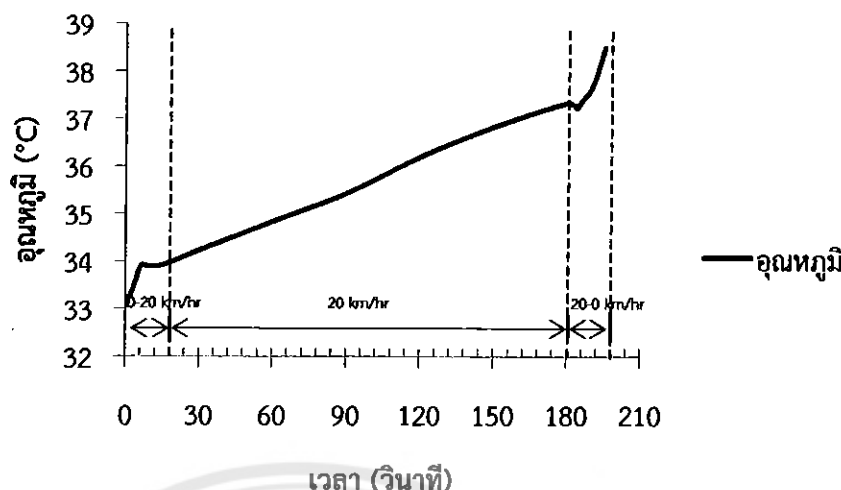
เวลา (นาที)	q_{cond} (W)	q_t (W)
0	0.04	2.38
5	1.89	6.50
10	4.18	8.56
15	5.07	9.04
20	5.40	9.99
25	5.77	11.26
30	5.52	12.84
35	5.63	10.62
40	4.48	12.53
45	4.66	11.10
50	4.18	11.10
55	2.41	11.10
60	2.22	11.10

สามารถนำค่าจากการคำนวณอัตราการถ่ายเทความร้อนในตารางที่ 4.3 มาแสดงในการรูปที่ 4.4



รูปที่ 4.6 แสดงความสัมพันธ์ระหว่างเวลา กับ อัตราการถ่ายเทความร้อนของมอเตอร์ที่ติดเครื่อง
ระบบความร้อนและพัดลมระบบอากาศ

4.4 การวิเคราะห์ผลการทดลองที่ 4



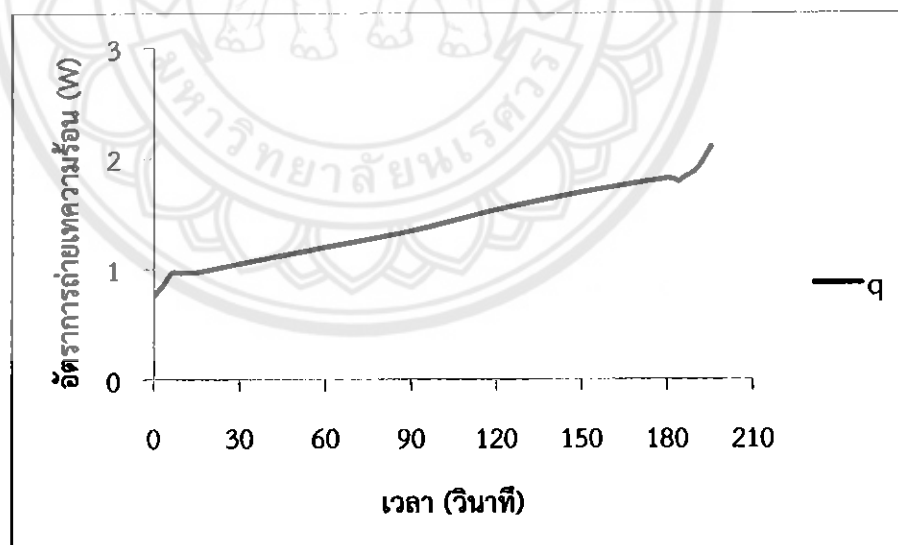
รูปที่ 4.7 แสดงความสัมพันธ์ระหว่างเวลา กับ อุณหภูมิของมอเตอร์

จากการทดลองที่ 4 เมื่อขับรถจากความเร็ว 0 ถึง 20 km/hr จะใช้เวลา 15.75 วินาที เนื่องจากมีอัตราเร่งจีบทำให้มอเตอร์มีอุณหภูมิสูง เส้นกราฟที่ชัน และเมื่อความเร็วคงที่อุณหภูมิจะเพิ่มขึ้นเป็นเชิงเส้น เมื่อเริ่มเบรกจากความเร็ว 20 ถึง 0 km/hr อุณหภูมิจะสูงขึ้นเส้นกราฟจะชันขึ้น อีกครั้ง ดังรูปที่ 4.7 จะได้ค่าอัตราการถ่ายเทความร้อนจากการคำนวณในโปรแกรม Excel แสดงไว้ในตารางที่ 4.4

ตารางที่ 4.4 แสดงการข้อมูลจากการคำนวณค่าการถ่ายเทความร้อนของการทดลองที่ 4

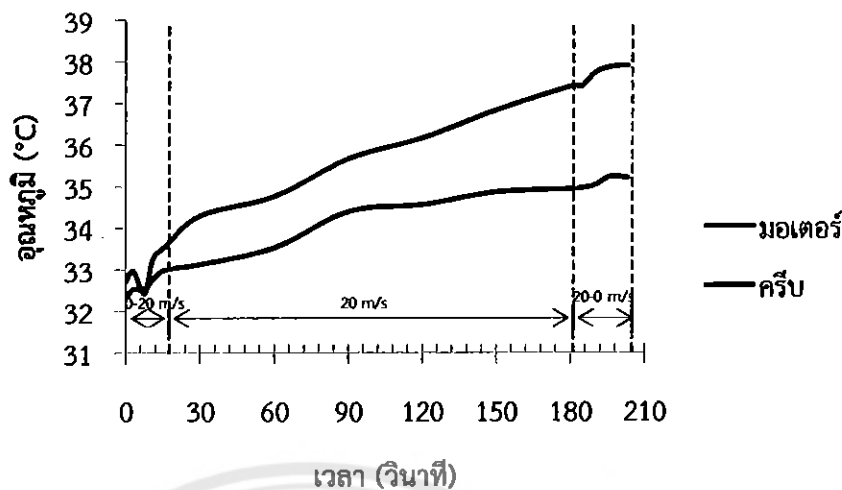
เวลา (วินาที)	q (W)
0	0.76
3.53	0.87
6.24	0.97
9.57	0.97
15.75	0.97
30	1.05
60	1.20
90	1.35
120	1.54
150	1.69
180	1.82
183.71	1.79
185.65	1.82
190.28	1.91
195.13	2.11

สามารถนำค่าจากการคำนวณอัตราการถ่ายเทความร้อนในตารางที่ 4.4 มาแสดงในการรูปที่ 4.8



รูปที่ 4.8 แสดงความสัมพันธ์ระหว่างเวลา กับ อัตราการถ่ายเทความร้อนของมอเตอร์

4.5 การวิเคราะห์ผลการทดสอบท่อนที่ 5



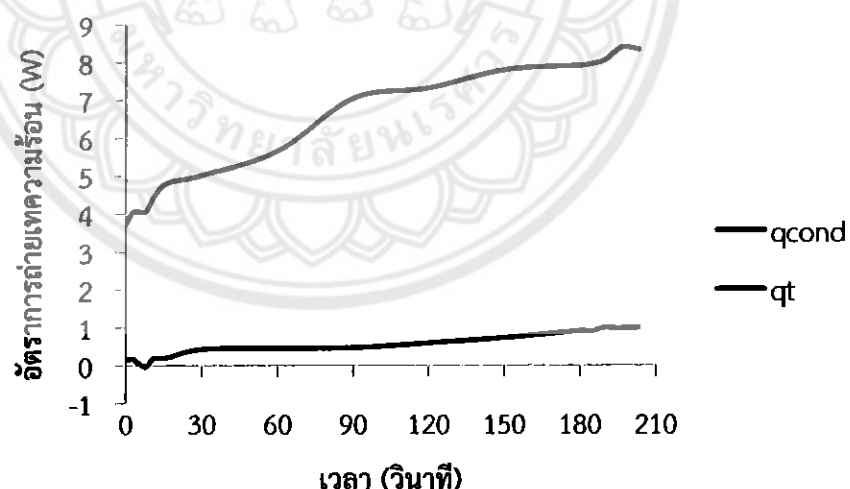
รูปที่ 4.9 แสดงความสัมพันธ์ระหว่างเวลา กับ อุณหภูมิของ นอเตอร์ ที่ติดคีบ ระบบความร้อน

จากการทดสอบที่ 5 เมื่อขับรถจากความเร็ว 0 ถึง 20 km/hr จะใช้เวลา 15.95 วินาที เนื่องจากมีอัตราเร่งจึงทำให้มอเตอร์มีอุณหภูมิสูง เส้นกราฟที่ชัน และเมื่อความเร็วคงที่อุณหภูมิจะเพิ่มขึ้นเป็นเส้น เมื่อเริ่มเบรกจากความเร็ว 20 ถึง 0 km/hr อุณหภูมิจะสูงขึ้นเส้นกราฟจะชันขึ้น อีกครั้ง ในส่วนของคีบ ระบบความร้อนจะมีอัตราการเพิ่มของอุณหภูมิที่คงที่ ดังรูปที่ 4.9 จะได้คำอัตราการถ่ายเทความร้อนจากการคำนวณในโปรแกรม Excel แสดงไว้ในตารางที่ 4.5

ตารางที่ 4.5 แสดงการข้อมูลจากการคำนวณค่าการถ่ายเทความร้อนของการทดลองที่ 5

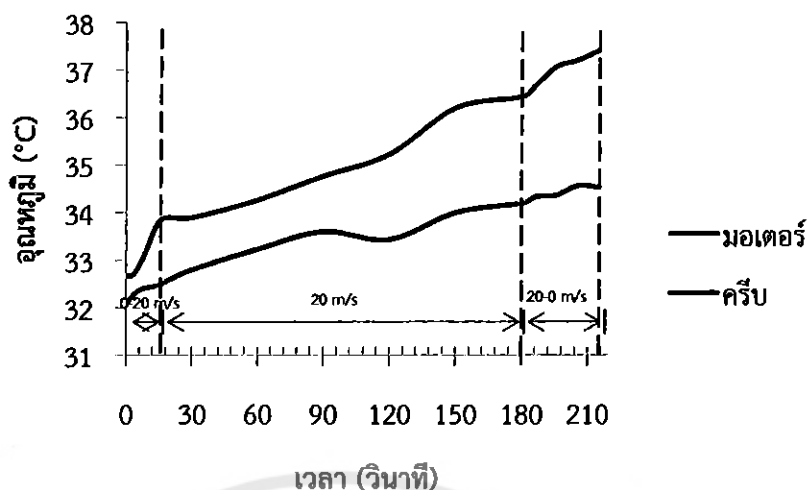
เวลา(วินาที)	$q_{cond}(W)$	$q_t (W)$
0	0.15	3.74
2.98	0.16	4.06
7.63	-0.04	4.06
10.87	0.19	4.44
15.98	0.21	4.81
30	0.43	5.02
60	0.46	5.67
90	0.47	7.06
120	0.59	7.32
150	0.73	7.80
180	0.91	7.91
184.4	0.90	7.96
189.68	1.00	8.07
195.94	0.97	8.39
202.94	1.00	8.34

สามารถนำค่าจากการคำนวณอัตราการถ่ายเทความร้อนในตารางที่ 4.5 มาแสดงในการรูปที่ 4.10



รูปที่ 4.10 แสดงความสัมพันธ์ระหว่างเวลา กับ อัตราการถ่ายเทความร้อนของมอเตอร์ที่ติดเครื่อง
ระบบความร้อน

4.6 การวิเคราะห์ผลการทดลองที่ 6



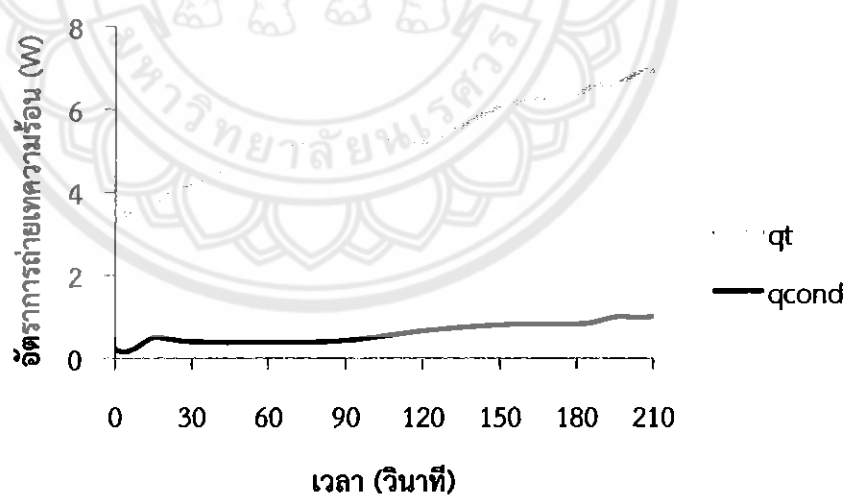
รูปที่ 4.11 แสดงความสัมพันธ์ระหว่างเวลา กับ อุณหภูมิของมอเตอร์ และ ครีบ ที่ติดพัดลมระบายความร้อน

จากการทดลองที่ 6 เมื่อขับรถจากความเร็ว 0 ถึง 20 km/hr จะใช้เวลา 18.64 วินาที เนื่องจากมีอัตราเร่งจีงทำให้มอเตอร์มีอุณหภูมิสูงเส้นกราฟที่ชัน และเมื่อความเร็วคงที่อุณหภูมิจะเพิ่มขึ้นเป็นเชิงเส้น เมื่อเริ่มเบรกจากความเร็ว 20 ถึง 0 km/hr อุณหภูมิจะสูงขึ้นเส้นกราฟจะชันขึ้น อีกครั้ง ในส่วนของครีบระบายความร้อนจะมีอัตราการเพิ่มของอุณหภูมิที่คงที่ ดังรูปที่ 4.11 จะได้ค่าอัตราการถ่ายเทความร้อนจากการคำนวณในโปรแกรม Excel แสดงไว้ในตารางที่ 4.6

ตารางที่ 4.6 แสดงการข้อมูลจากการคำนวณค่าการถ่ายเทความร้อนของการทดลองที่ 6

เวลา (วินาที)	$q_{\text{cond}} (\text{W})$	$q_t (\text{W})$
0	0.22	3.34
3.25	0.16	3.44
7.5	0.23	3.64
14.22	0.48	3.74
18.68	0.49	3.89
30	0.41	4.25
60	0.38	4.91
90	0.43	5.46
120	0.67	5.21
150	0.81	6.07
180	0.83	6.37
185.98	0.86	6.58
195.54	1.00	6.63
205.34	0.97	6.93
214.96	1.06	6.88

สามารถนำค่าจากการคำนวณอัตราการถ่ายเทความร้อนในตารางที่ 4.6 มาแสดงในการรูปที่ 4.12



รูปที่ 4.12 แสดงความสัมพันธ์ระหว่างเวลา กับ อัตราการถ่ายเทความร้อนของมอเตอร์ที่ติดเครื่อง
ระบบความร้อนและพัดลมระบบอากาศ

4.7 อภิปรายผลการทดลอง

โครงการนี้เป็นการทดลองเพื่อศึกษาการเกิดความร้อน การถ่ายเทความร้อน การระบายความ และพัฒนาอุปกรณ์สำหรับการถ่ายเทความร้อน เพื่อการระบายความร้อนในอุปกรณ์รถจักรยานไฟฟ้า โดยยึดหลักการของวิชา Heat Transfers คือ การนำความร้อนและการพาความร้อน โดยวัสดุที่ใช้คือ คริบระบายน้ำความร้อนทำจากอลูมิเนียมและพัดลมระบายน้ำอากาศ ขนาด $6 \times 6 \times 1.5$ เซนติเมตร 12 โวลต์ จำนวน 1 ตัว เนื่องจากอลูมิเนียม มีคุณสมบัติในการนำความร้อนและการระบายความร้อนได้ดีกว่าวัสดุอื่น มีน้ำหนักเบา ซึ่งสูตรการนำความร้อนและการพาความร้อนตามทฤษฎีดังนี้

การนำความร้อนจากมอเตอร์ไปยังคริบระบายน้ำความร้อน

$$q = \frac{T_{s,M} - T_{s,f}}{\frac{L}{k_M A} + \frac{L}{k_f A}}$$

อัตราการถ่ายเทความร้อนแบบพาความร้อน

$$q_t = hA(T_{s,l} - T_\infty)$$

อัตราการถ่ายเทความร้อนของคริบระบายน้ำความร้อน

$$q_t = hA_t \left[1 - \frac{NA_f}{A_t} (1 - \eta_f) \right] \theta_b$$

การทดลองจะแบ่งออกเป็น 6 การทดลอง

ซึ่งการทดลองทอนที่ 1, 2, 3 เป็นการทดลองแบบ Statics คือ เริ่มจับเวลาจากการออกแบบ และจะวัดอุณหภูมิทุกๆ 5 นาที โดยมีการหยุดรถเพื่อทำการวัด ค่าที่ได้จากการทดลองจะแสดงเป็นกราฟดังที่แสดงในการวิเคราะห์ผลการทดลองทอนที่ 1, 2, 3 ตามลำดับ ผลที่ได้จะพบว่า อุณหภูมิจะเพิ่มขึ้นจนสูงสุดและค่อยๆลดลง เมื่อกระแสไฟฟ้าลดลง ค่าอัตราการเกิดและการถ่ายเทความร้อนแต่ละการทดลองจะมีค่าแตกต่างกัน อุณหภูมิมีค่ามากไปน้อยในการทดลองทอนที่ 1, 2, 3 ตามลำดับ ถ้าอัตราการถ่ายเทความร้อนน้อยแสดงถึงการระบายความร้อนได้ไม่ดี แต่ถ้าค่าอัตราการถ่ายเทความร้อนมากแสดงถึงการถ่ายเทความร้อนได้ดี

อัตราการถ่ายเทความร้อนขึ้นอยู่กับ θ_b (ผลต่างของอุณหภูมิของผิววัตถุกับอุณหภูมิของสิ่งแวดล้อม) จากการทดลองที่ 5, 6 จะสังเกตว่าอัตราการถ่ายเทความร้อนของการทดลองที่ 5 มากกว่าการทดลองที่ 6 เนื่องจากอุณหภูมิเริ่มต้นของมอเตอร์และครึ่นมีค่าที่แตกต่างกัน และอุณหภูมิของสิ่งแวดล้อมแตกต่างกันด้วยระยะเวลาทดลองคนละช่วงเวลา เพื่อให้ง่ายต่อการคำนวณจึงได้ใช้อุณหภูมิเฉลี่ยของสิ่งแวดล้อมที่ 30°C

และการทดลองตอนที่ 4, 5, 6 เป็นการทดลองแบบ Dynamic คือ จะเริ่มวัดอุณหภูมิเมื่อรถเริ่มออกตัวจากความเร็ว 0, 5, 10, 15, 20 km/hr และวิ่งด้วยความเร็วคงที่ 20 km/hr วัดอุณหภูมิทุกๆ 30 วินาที และวัดอุณหภูมิเมื่อเบรกรถที่ความเร็ว 15, 10, 5, 0 km/hr ค่าที่ได้จากการทดลองจะแสดงเป็นกราฟดังที่แสดงในการวิเคราะห์ผลการทดลองตอนที่ 4, 5, 6 ตามลำดับ ผลที่ได้จะเห็นว่า ช่วงที่เริ่มออกตัวของรถจะอุณหภูมิจะสูงขึ้นมาก เนื่องมาจากตอนออกตัวมอเตอร์ต้องใช้กระแสไฟฟ้าที่มาก เพื่อมารับกับโหลดจึงทำให้เกิดความร้อนขึ้นที่มอเตอร์ เมื่อความเร็วคงที่อุณหภูมิจะค่อยๆ เพิ่ม และจะเพิ่มสูงขึ้นอีกรั้งเมื่อมีการเบรก ก็เนื่องมาจากที่มอเตอร์มีกระแสไฟฟ้าที่มากเกินกว่าโหลดนั้นเอง จากการกราฟจะเห็นว่าอัตราเกิดความร้อนและอัตราการถ่ายเทความร้อนไม่ค่อยแตกต่างกันมากนัก เนื่องจากเป็นการทดลองที่ใช้ระยะเวลาที่สั้น แต่ก็ยังมีการถ่ายเทความร้อนไปยังเครื่อบร้าย ความร้อนอยู่พสมควร

ในการทดลองในแต่ละตอน และแต่ละครั้ง แต่ละการทดลองค่าของอุณหภูมิท้องของมอเตอร์ เครื่อบร้ายความร้อน และอุณหภูมิของสิ่งแวดล้อมไม่เท่ากันมีผลต่อการทดลอง จึงทำให้ได้ค่าที่มีความคลาดเคลื่อนอยู่บ้าง

ดังนั้น จึงสรุปได้ว่าการทดลองแบบที่มีการติดเครื่อบร้ายความร้อนติดและพัดลมลงระบบ อาจจะมีค่าอัตราการถ่ายเทความร้อนมากที่สุด จึงเลือกที่จะมีการติดเครื่อบร้ายความร้อนและติดพัดลมลงระบบหาก



บทที่ 5

สรุปผลการทดลองและข้อเสนอแนะ

5.1 สรุปผลการทดลอง

การเกิดความร้อนของมอเตอร์ เกิดจากการขับโหลดของมอเตอร์ทำให้เกิดกระแสเกินและเมื่อใจเป็นเวลานานความร้อนจะสะสมอยู่ที่มอเตอร์จะทำให้เกิดความเสียหายต่อชิ้นส่วนภายในมอเตอร์ ทำให้มอเตอร์มีอายุการใช้งานที่ลดลง

การเกิดความร้อนของมอเตอร์ที่มีอุณหภูมิสูงสุดจะเกิดขึ้นที่ด้านหลังของมอเตอร์ ดังนั้น เมื่อมีการติดเครื่องระบบความร้อนและพัดลมระบบอากาศ สามารถช่วยในการลดอุณหภูมิของมอเตอร์ได้ 17 % และอัตราการถ่ายเทความร้อน 49 %

5.2 ข้อเสนอแนะสำหรับการพัฒนาในครั้งต่อไป

5.2.1 ด้านการเลือกวัสดุ ควรเลือกแผ่นอลูมิเนียมที่มีแผ่นบางกว่านี้เพื่อการระบายที่มีประสิทธิภาพที่ดีขึ้น

5.2.2 ด้านการออกแบบเครื่องมือการออกแบบเครื่องให้มีความกะทัดรัด สวยงาม ถ้าเครื่องมีขนาดใหญ่เกินไปจะไม่สามารถปั๊บจักรยานได้ และต้องคำนึงถึงการถ่ายเทความร้อนที่ดี

5.2.3 ควรมีการศึกษาผลกระทบของความร้อนที่มีผลต่อแม่เหล็กและชุดวงของมอเตอร์

5.2.4 การระบายความร้อนใช้ลมในการระบายความร้อนก็เพียงพอ ไม่ต้องระบายน้ำความร้อนแบบ liquid cool เพราะอุณหภูมิจากมอเตอร์มีค่าไม่สูงมาก

อ้างอิง

Incropera, D., Bergmann, L., (2007). Heat Transfer from Extended Surface.
 (6th ed.). Hoboken, NJ: John Wiley & Sons

ข้อดีของอลูมิเนียม. สืบค้นเมื่อ 15 กุมภาพันธ์ 2555. จาก
<http://www.qzana.com/advantages%20of%20aluminum.php>

พิรพงศ์ ลั่มประสีทธีวงศ์. (8 ธันวาคม 2551). อุณหภูมิกับการใช้งานมอเตอร์ Motor with Temperature Utilization. สืบค้นเมื่อ 15 กุมภาพันธ์ 2555.
 จาก <http://www.thailandindustry.com/guru>

ภาควิชาครุศาสตร์เครื่องกล มหาวิทยาลัยเทคโนโลยีพระจอมเกล้าธนบุรี. ครึ่งระบบความร้อน (Fin). สืบค้นเมื่อ 11 ธันวาคม 2554. จาก <http://mfe.kmutt.ac.th/elearning>

ภาควิชาวิศวกรรมและเทคโนโลยีการเกษตร มหาวิทยาลัยเทคโนโลยีราชมงคลธัญบุรี. ครึ่งระบบความร้อน (Fin). สืบค้นเมื่อ 15 กุมภาพันธ์ 2555.
 จาก <http://courseware.rmutl.ac.th>

ภาควิชา ครุศาสตร์อุตสาหการ คณะครุศาสตร์อุตสาหกรรมมหาวิทยาลัยเทคโนโลยีพระจอมเกล้า ธนบุรี. คุณสมบัติของอลูมิเนียม. สืบค้นเมื่อ 15 กุมภาพันธ์ 2555.
 จาก http://www.aluminiumlearning.com/html/index_properties.html





ตารางที่ ก.1 แสดงข้อมูลเวลา, อุณหภูมิ ของมอเตอร์ ของการทดลองที่ 1

เวลา	จุด 1	จุด 2	จุด 3
0	33.2	30.8	30.4
5	41.1	42.1	42.8
10	44.5	47.2	48.4
15	46.2	51.9	53.8
20	53	58.5	59.2
25	53.1	59.2	61.4
30	53.2	59.3	61.8
35	56	62.4	62.2
40	53.5	60.8	61.1
45	52.2	59	61
50	52.5	59	61.4
55	52.7	59	61.6
60	53.7	57.7	59.2

ตารางที่ ก.2 แสดงข้อมูลเวลา, อุณหภูมิ ของมอเตอร์และเครื่องบาระบายความร้อน ของการทดลองที่ 2

เวลา	จุด 1	จุด 2	จุด 3	จุด 4	จุด 5
0	30.8	30.7	27	31.9	27.2
5	38	39.1	31.4	39.4	31.1
10	44.8	47.6	35.2	47.4	34.3
15	47.6	51.5	36.1	52.2	35.8
20	48.2	52.8	37.1	53.2	37.8
25	50.1	55.2	37.7	55.7	38.8
30	50.7	54.5	37.8	55.4	38.8
35	50.1	54.4	37.4	54.7	39.1
40	47.3	51.5	37.5	52.5	38.3
45	47.3	50.4	37.5	51	38.1
50	45.2	49.2	37.3	49.9	38.3
55	43.2	46	37.1	47.2	38.1
60	42.1	45	37	46.2	38.5

ตารางที่ ก.3 แสดงข้อมูลเวลา, อุณหภูมิ ของมอเตอร์และเครื่องระบบความร้อนที่ติดพัดลม ของการทดลองที่ 3

เวลา	จุด 1	จุด 2	จุด 3	จุด 4	จุด 5
0	31.5	31.3	31.5	31.6	31.3
5	39	38.5	34.1	39.2	33.8
10	44.2	44.1	35.4	46.7	35.3
15	47.2	49.1	35.7	49.4	36.3
20	47.4	48.4	36.3	50.9	36.8
25	48.6	51	37.1	52.7	37
30	49.5	51.6	38.1	53	37.5
35	48.2	51.3	36.7	51.9	35
40	47.2	49.3	37.9	50	36.5
45	46.7	49.3	37	49.6	36.8
50	46	47.4	37	48.3	36.3
55	43.5	45	37	43.5	38
60	42	44.2	37	43	36.9

ตารางที่ ก.4 แสดงข้อมูลเวลา, อุณหภูมิ ของมอเตอร์ ของการทดลองที่ 4

ความเร็ว	ครั้งที่ 1		ครั้งที่ 2		ครั้งที่ 3		เฉลี่ย	
	เวลา	อุณหภูมิ	เวลา	อุณหภูมิ	เวลา	อุณหภูมิ	เวลา	อุณหภูมิ
0	0	33	0	33.3	0	32.9	0	33.07
5	2.89	33	3.67	33.5	4.03	34	3.53	33.50
10	5.91	33.5	6.35	33.7	6.47	34.5	6.24	33.90
15	8.71	33.4	9.58	33.8	10.43	34.5	9.57	33.90
20	14.67	33	15.77	33.8	16.8	35	15.75	33.93
20	30	33.7	30	35	30	34	30	34.23
20	60	34	60	35.2	60	35.3	60	34.83
20	90	34.2	90	36	90	36.1	90	35.43
20	120	34.8	120	36.7	120	37.1	120	36.20
20	150	35	150	37.3	150	38.2	150	36.83
20	180	35.7	180	38	180	38.3	180	37.33
15	183.35	36	184.44	38.2	183.34	37.5	183.71	37.23
10	185.19	36.1	186.59	38.5	185.16	37.5	185.65	37.37
5	190.82	36.2	190.66	38.3	189.35	38.6	190.28	37.70
0	195.52	37.8	195.4	38.7	194.47	39	195.13	38.50

ตารางที่ ก.5 แสดงชั้นปูนกาวล่า ถุงหนามี ของมอยเตอร์ร์และคริบเรซินบางความร้อน ของการทดสอบที่ 5

	ครั้งที่ 1			ครั้งที่ 2			ครั้งที่ 3			เฉลี่ย		
	ความร้อน	เวลา	มอยเตอร์	ครีบ	เวลา	มอยเตอร์	ครีบ	เวลา	มอยเตอร์	ครีบ	เวลา	มอยเตอร์
0	0	32.7	32.7	0	33	32	0	32.5	32.3	0.00	32.73	32.33
5	2.44	32.8	32.8	3.28	33.4	32.1	3.22	32.7	32.7	2.98	32.97	32.53
10	5.73	33	32.8	8.76	32.1	32.6	8.41	32.2	32.2	7.63	32.43	32.53
15	8.56	33.4	33.8	11.69	33.4	32.2	12.36	33	32.3	10.87	33.27	32.77
20	15	33.6	33.8	15.57	33.8	32.7	17.27	33.3	32.5	15.95	33.57	33.00
20	30	33.8	33.3	30	34.8	33.1	30	34.3	33	30	34.30	33.13
20	60	33.8	33.8	60	35.5	33.3	60	35	33.5	60	34.77	33.53
20	90	35	33.8	90	36.3	34.1	90	35.7	35.3	90	35.67	34.40
20	120	35.2	33.9	120	37	34.2	120	36.3	35.6	120	36.17	34.57
20	150	35.5	34.1	150	37.6	35.2	150	37.4	35.3	150	36.83	34.87
20	180	36.2	34	180	38	35.2	180	38	35.6	180	37.40	34.93
15	182	35.9	33.7	185.98	38.2	35.2	185.23	38.1	36	184.40	37.40	34.97
10	185.83	36.6	33.8	191.23	38.3	35.3	191.97	38.3	36	189.68	37.73	35.03
5	189.95	36.4	34.1	199.26	38.7	35.3	198.61	38.5	36.3	195.94	37.87	35.23
0	198.5	36.3	34.1	206.76	38.9	35.5	203.55	38.5	36	202.94	37.90	35.20

ตารางที่ ก.๖ แสดงชั้นข้อมูลเวลา, ยานพาณิชย์ ของสมัยเดียร์เมล็ดเมล็ดเริบระบากความร้อนที่ติดพื้นดิน ฤดูงารากราดดินอุ่นที่ ๖

ความเร็ว	ครั้งที่ ๑			ครั้งที่ ๒			ครั้งที่ ๓			เฉลี่ย		
	เวลา	มวลอากาศ	ครีบ	เวลา	มวลอากาศ	ครีบ	เวลา	มวลอากาศ	ครีบ	เวลา	มวลอากาศ	ครีบ
0	0	33.6	32.3	0	31.6	31.4	0	32.8	32.5	0	32.67	32.07
5	2.58	33.5	32.6	3.45	31.9	31.7	3.71	32.7	32.5	3.25	32.70	32.27
10	5.77	34.1	32.6	9.1	32.1	31.8	7.62	32.9	32.8	7.50	33.03	32.40
15	13.19	35.1	32.6	14.36	32.8	32.1	15.1	33.4	32.7	14.22	33.77	32.47
20	17.55	34.9	32.1	18.75	32.9	32.5	19.73	33.9	33.1	18.68	33.90	32.57
20	30	33.4	32.3	30	33.7	32.7	30	34.6	33.4	30	33.90	32.80
20	60	33.5	32.3	60	34.5	33.5	60	34.8	33.9	60	34.27	33.23
20	90	33.8	33.3	90	35.2	33.7	90	35.3	33.8	90	34.77	33.60
20	120	34.2	32.3	120	35.8	34.1	120	35.7	33.9	120	35.23	33.43
20	150	35	33.2	150	36.9	34.5	150	36.7	34.3	150	36.20	34.00
20	180	35.2	33.1	180	37.2	34.9	180	36.9	34.6	180	36.43	34.20
15	185.87	35.3	33.1	186.73	37.4	35.2	185.34	37.3	34.7	185.98	36.67	34.33
10	195.21	35.3	33	196.81	38.2	35.3	194.61	37.7	34.8	195.54	37.07	34.37
5	203.44	35.2	33	205.76	38.3	35.5	206.82	38.1	35.2	205.34	37.20	34.57
0	213.23	35.4	32.8	215.43	38.4	35.2	216.21	38.4	35.6	214.96	37.40	34.53

ตารางที่ A.7 A.1 Thermophysical Properties of Selected metallic Solid

TABLE A.1 Thermophysical Properties of Selected Metallic Solids^a

Composition	Melting Point (K)	Properties at 300 K			Properties at Various Temperatures (K)									
		ρ (kg/m ³)	c_p (J/kg · K)	k (W/m · K)	$\alpha \cdot 10^6$ (m ² /s)	100	200	400	600	800	1000	1200	1500	2000
Aluminum														
pure	933	2702	903	237	97.1	302	237	240	231	218				
Mg 2024-T6 (4.5% Cu, 1.5% Mg, 0.6% Mn)	775	2770	875	177	73.0	65	163	186	186	1033	1146			
Carbon steels														
Plain carbon (Mn ≤ 1%, Si ≤ 0.1%)	7854	434	60.5	17.7						56.7	48.0	39.2	30.0	
AlSi 1010	7832	434	63.9	18.8						487	559	685	1169	
										58.7	48.8	39.2	31.3	

ตารางที่ A.8 A.4 Thermophysical Properties of Gases at Atmospheric Pressure

TABLE A.4 Thermophysical Properties
of Gases at Atmospheric Pressure^a

<i>T</i> (K)	<i>p</i> (kg/m ³)	<i>c_p</i> (kJ/kg · K)	<i>μ · 10⁷</i> (N · s/m ²)	<i>ν · 10⁶</i> (m ² /s)	<i>k · 10³</i> (W/m · K)	<i>α · 10⁶</i> (m ² /s)	<i>P_v</i>
Air							
100	3.5862	1.032	71.1	2.00	9.34	2.54	0.786
150	2.3364	1.012	103.4	4.426	13.8	5.84	0.758
200	1.7458	1.007	132.5	7.590	18.1	10.3	0.737
250	1.3947	1.006	159.6	11.44	22.3	15.9	0.720
300	1.1614	1.007	184.6	15.89	26.3	22.5	0.707
350	0.9950	1.009	208.2	20.92	30.0	29.9	0.700
400	0.8711	1.014	230.1	26.41	33.8	38.3	0.690
450	0.7740	1.021	250.7	32.39	37.3	47.2	0.686
500	0.6964	1.030	270.1	38.79	40.7	56.7	0.684
550	0.6329	1.040	288.4	45.57	43.9	66.7	0.683
600	0.5804	1.051	305.8	52.69	46.9	76.9	0.685
650	0.5356	1.063	322.5	60.21	49.7	87.3	0.690
700	0.4975	1.075	338.8	68.10	52.4	98.0	0.695
750	0.4643	1.087	354.6	76.37	54.9	109	0.702
800	0.4354	1.099	369.8	84.93	57.3	120	0.709
850	0.4097	1.110	384.3	93.80	59.6	131	0.716
900	0.3868	1.121	398.1	102.9	62.0	143	0.720
950	0.3666	1.131	411.3	112.2	64.3	155	0.723
1000	0.3482	1.141	424.4	121.9	66.7	168	0.726
1100	0.3166	1.159	449.0	141.8	71.5	195	0.728
1200	0.2902	1.175	473.0	162.9	76.3	224	0.728
1300	0.2679	1.189	496.0	185.1	82	238	0.719
1400	0.2488	1.207	530	213	91	303	0.703
1500	0.2322	1.230	557	240	100	350	0.685
1600	0.2177	1.248	584	268	106	390	0.688
1700	0.2049	1.267	611	298	113	435	0.685
1800	0.1935	1.286	637	329	120	482	0.683
1900	0.1833	1.307	663	362	128	534	0.677
2000	0.1741	1.331	689	396	137	589	0.672
2100	0.1658	1.372	715	431	147	646	0.667
2200	0.1582	1.417	740	468	160	714	0.655
2300	0.1513	1.478	766	506	175	783	0.647
2400	0.1448	1.558	792	547	196	869	0.639
2500	0.1389	1.665	818	589	222	960	0.632
3000	0.1135	2.726	955	841	486	1570	0.538



การคำนวณ

การหาค่าสัมประสิทธิ์การพาความร้อนของอากาศ

$$\text{รถจักรยานไฟฟ้าวิ่งด้วยความเร็ว } 20 \text{ km/hr} = 20 \times \frac{1000}{3600} = 5.56 \text{ m/s}$$

อุณหภูมิของอากาศ 30°C หรือ $303 K$

จากภาคผนวก ก.

ตารางที่ ก. 8 Table A.4 Thermophysical Properties of Gases at Atmospheric Pressure $\rho = 1.1514 \text{ kg/m}^3$, $\nu = 16.1920 \times 10^{-6} \text{ m}^2/\text{s}$, $k = 26.522 \times 10^{-3} \text{ W/mk}$, $\text{Pr} = 0.70658$

$$\text{จาก } \text{Re} = \frac{u_\infty L}{\nu}$$

$$\text{Re} = \frac{5.56 \times 0.2185}{16.192 \times 10^{-6}} = 75028.41$$

$$Nu = (0.664)(75029.34^{1/2})(0.70588^{1/3}) = 161.9959$$

สัมประสิทธิ์การพาความร้อนของอากาศ

$$h_1 = \frac{Nu k}{L} = \frac{172.365 \times 0.026522}{0.2185} = 19.66 \text{ W/m}^2\text{k}$$

อากาศจากพัดลมที่ความเร็วรอบ 2000 rpm

$$\text{ความเร็วลมที่ออกจากใบพัด} = 2000 \times \frac{2\pi}{60} \times 0.03 = 6.28 \text{ m/s}$$

$$\text{จาก } \text{Re} = \frac{u_\infty L}{\nu}$$

$$\text{Re} = \frac{u_\infty L}{\nu} = \frac{6.28 \times 0.2185}{16.192 \times 10^{-6}} = 84745.36$$

$$\text{จาก } Nu = 0.664 \text{ Re}^{1/2} \text{ Pr}^{1/3}$$

$$Nu = 0.664 \text{ Re}^{1/2} \text{ Pr}^{1/3} = (0.664)(84745.36^{1/2})(0.70658^{1/3}) = 172.365$$

สัมประสิทธิ์การพาความร้อนของลมจากพัดลม

$$\text{จาก } h_2 = \frac{Nu \cdot k}{L}$$

$$h_2 = \frac{146.788 \times 0.0269}{0.2185} = 20.92 \text{ W/m}^2\text{k}$$

สมการที่ใช้ในการคำนวณ

การหาค่าการนำความร้อนจากมอเตอร์ไปสู่เครื่องหมายความร้อน

$$q = \frac{T_{s,M} - T_{s,f}}{\frac{L}{k_M A} + \frac{L}{k_f A}}$$

อัตราการถ่ายเทความร้อน

$$q_t = hA(T_{s,t} - T_\infty)$$

อัตราการถ่ายเทความร้อนของเครื่อง

$$q_t = hA_t \left[1 - \frac{NA_f}{A_t} (1 - \eta_f) \right] \theta_b$$

ใช้โปรแกรม Excel คำนวณจะได้

ตารางที่ ข.1 แสดงการข้อมูลจากการคำนวณค่าการถ่ายเทความร้อนของการทดลองที่ 1

เวลา (นาที)	q (W)
0	0.10
5	3.17
10	4.56
15	5.90
20	7.23
25	7.78
30	7.88
35	7.98
40	7.70
45	7.68
50	7.78
55	7.83
60	7.23

ตารางที่ ช.2 แสดงการข้อมูลจากการคำนวณค่าการถ่ายเทความร้อนของการทดลองที่ 2

เวลา	q_{cond} (W)	q_t (W)
0	1.74	-4.42
5	3.07	1.74
10	4.85	6.79
15	6.07	9.15
20	5.70	12.31
25	6.26	13.89
30	6.14	13.89
35	5.77	14.36
40	5.26	13.10
45	4.77	12.78
50	4.29	13.10
55	3.37	12.78
60	2.85	13.42

ตารางที่ ช.3 แสดงการข้อมูลจากการคำนวณค่าการถ่ายเทความร้อนของการทดลองที่ 3

เวลา (นาที)	q_{cond} (W)	q_t (W)
0	0.04	2.38
5	1.89	6.50
10	4.18	8.56
15	5.07	9.04
20	5.40	9.99
25	5.77	11.26
30	5.52	12.84
35	5.63	10.62
40	4.48	12.53
45	4.66	11.10
50	4.18	11.10
55	2.41	11.10
60	2.22	11.10

ตารางที่ ช.4 แสดงการข้อมูลจากการคำนวณค่าการถ่ายเทความร้อนของการทดลองที่ 4

เวลา (วินาที)	q (W)
0	0.76
3.53	0.87
6.24	0.97
9.57	0.97
15.75	0.97
30	1.05
60	1.20
90	1.35
120	1.54
150	1.69
180	1.82
183.71	1.79
185.65	1.82
190.28	1.91
195.13	2.11

ตารางที่ ช.5 แสดงการข้อมูลจากการคำนวณค่าการถ่ายเทความร้อนของการทดลองที่ 5

เวลา(วินาที)	$q_{cond}(W)$	$q_t (W)$
0	0.15	3.74
2.98	0.16	4.06
7.63	-0.04	4.06
10.87	0.19	4.44
15.98	0.21	4.81
30	0.43	5.02
60	0.46	5.67
90	0.47	7.06
120	0.59	7.32
150	0.73	7.80
180	0.91	7.91
184.4	0.90	7.96
189.68	1.00	8.07
195.94	0.97	8.39
202.94	1.00	8.34

ตารางที่ ช.6 แสดงการข้อมูลจากการคำนวณค่าการถ่ายเทความร้อนของการทดลองที่ 6

เวลา (วินาที)	q_{cond} (W)	q_t (W)
0	0.22	3.34
3.25	0.16	3.44
7.5	0.23	3.64
14.22	0.48	3.74
18.68	0.49	3.89
30	0.41	4.25
60	0.38	4.91
90	0.43	5.46
120	0.67	5.21
150	0.81	6.07
180	0.83	6.37
185.98	0.86	6.58
195.54	1.00	6.63
205.34	0.97	6.93
214.96	1.06	6.88

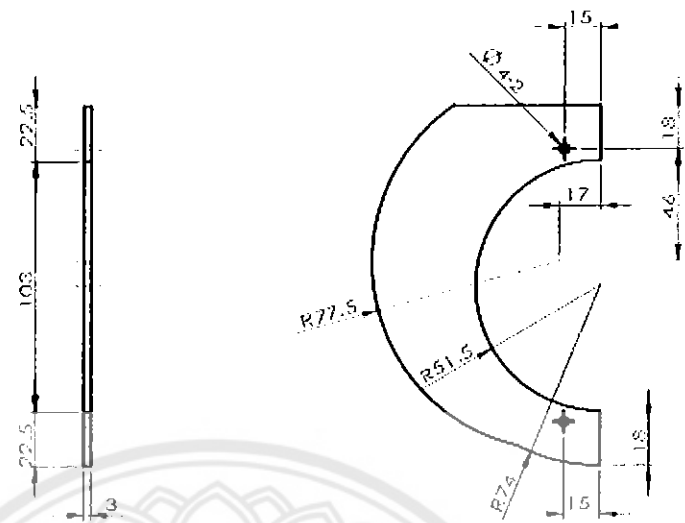
ประสิทธิภาพการระบายความร้อน

$$= \frac{62.4 - 53}{53} \times 100\% = 17\%$$

ประสิทธิภาพการระบายความร้อนจากการติดเครื่องระบบความร้อนและพัดลมระบบอากาศ

$$\eta = \frac{11.9 - 7.98}{7.98} \times 100\% = 49\%$$





FACULTY OF ENGINEER NARESUAN UNIVERSITY

FIN A

SCALE : 1:1

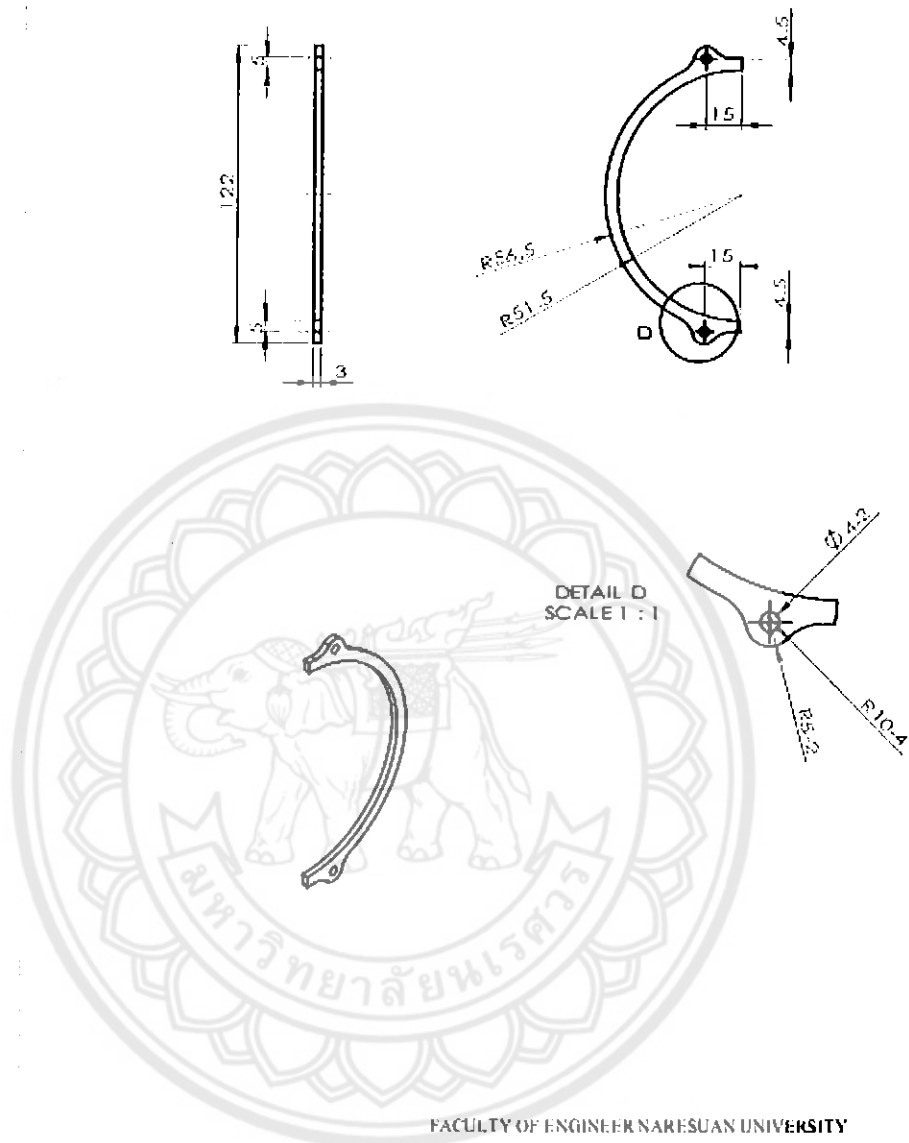
DIMENSION : mm.

PLATE : 1/3

DN By: mechanical project

DATE: 17/03/55

รูปที่ ค.1 การออกแบบครีบระบายความร้อน



FACULTY OF ENGINEERING NARESUAN UNIVERSITY

FIG B

SCALE : 1:1

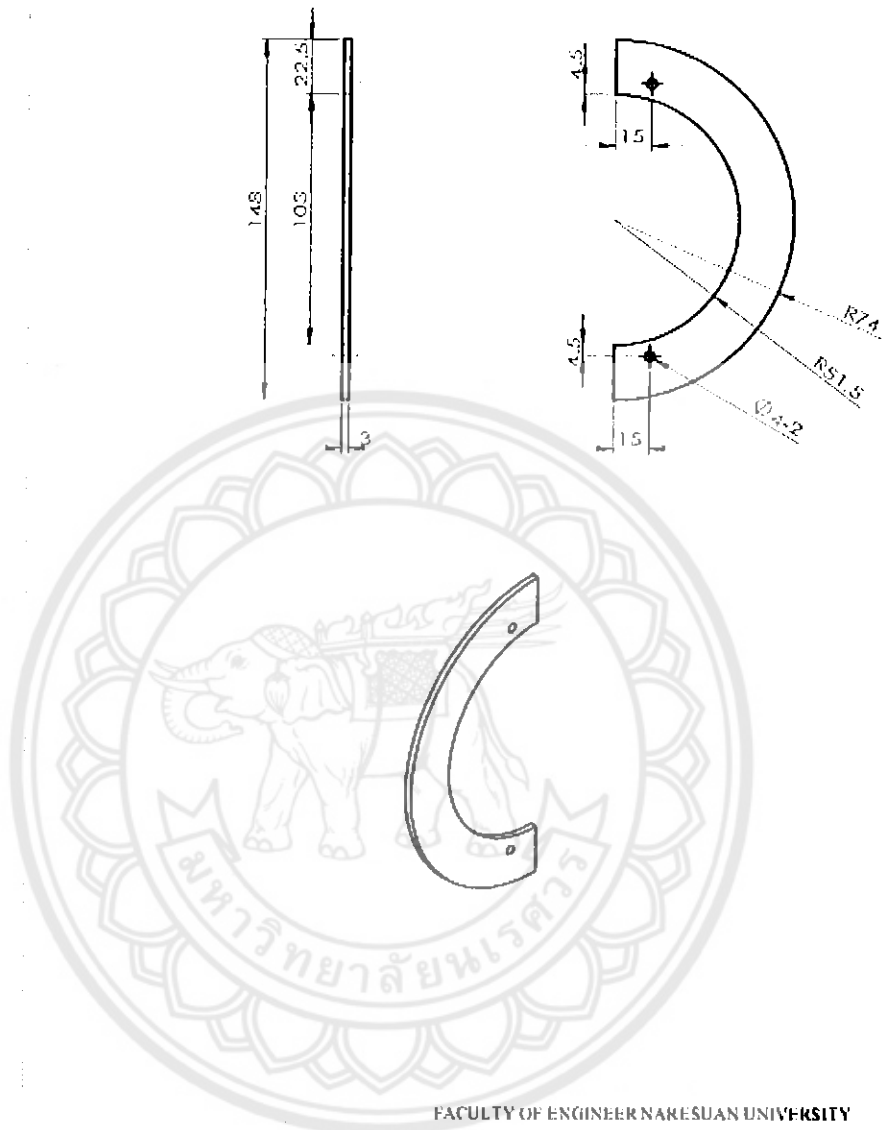
DIMENSION : mm.

PLATE : 2/3

DN By: mechanical project

DATE: 17/03/55

รูปที่ ค.2 การออกแบบครีบระบายความร้อน



FACULTY OF ENGINEER NARESUAN UNIVERSITY

FIN C

SCALE : 1:1

DIMENSION : mm

PLATE : 3/3

DN By: mechanical project

DATE: 17/03/55

รูปที่ ค.3 การออกแบบครีบระบายความร้อน